

Bandelettes et représentation géométrique des images

E. LE PENNEC et S. MALLAT
CMAP / École Polytechnique

Représentation géométrique des images



Représentation géométrique des images

- Représentation creuse du signal nécessaire pour le traitement du signal :
compression, débruitage, restauration, reconnaissance de forme. . .

Représentation géométrique des images

- Représentation creuse du signal nécessaire pour le traitement du signal :
compression, débruitage, restauration, reconnaissance de forme. . .
- Besoin de prendre en compte la géométrie pour améliorer la représentation des images.

Représentation géométrique des images

- Représentation creuse du signal nécessaire pour le traitement du signal :
compression, débruitage, restauration, reconnaissance de forme. . .
- Besoin de prendre en compte la géométrie pour améliorer la représentation des images.
- Relier les représentations d'analyses harmoniques (ondelettes) et la géométrie.

Représentation géométrique des images

- Représentation creuse du signal nécessaire pour le traitement du signal :
compression, débruitage, restauration, reconnaissance de forme. . .
- Besoin de prendre en compte la géométrie pour améliorer la représentation des images.
- Relier les représentations d'analyses harmoniques (ondelettes) et la géométrie.
- Entre traitement des images et vision par ordinateur : les coeurs de seconde génération.

Détection des contours



Détection des contours

- Un problème mal posé.

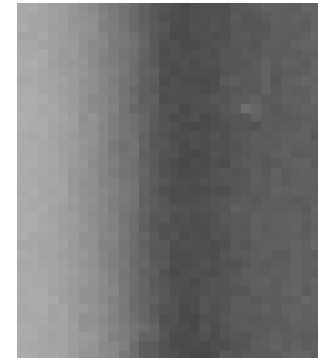
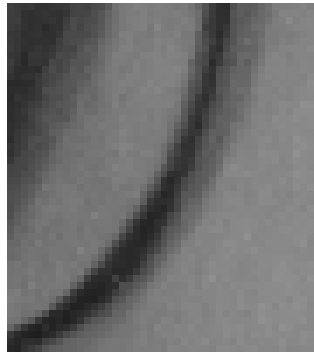
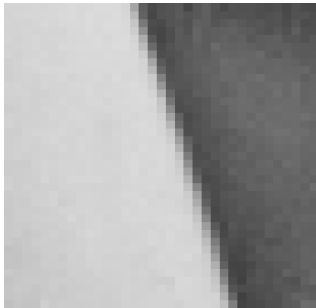


Détection des contours

- Un problème mal posé.



- Les contours sont des singularités lissées.

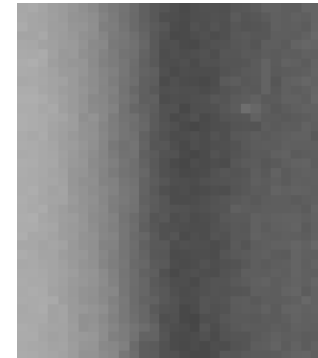
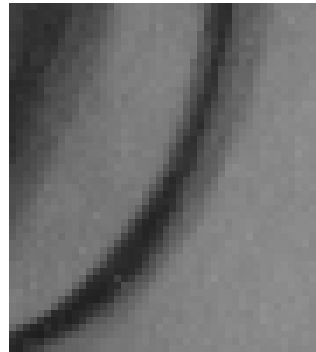
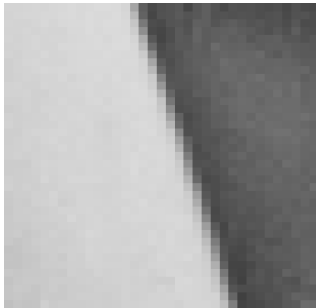


Détection des contours

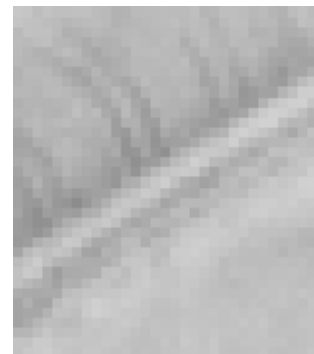
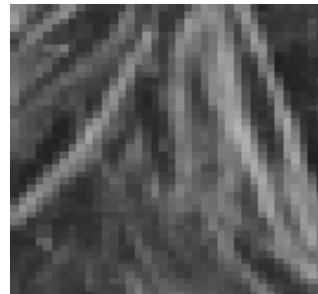
- Un problème mal posé.



- Les contours sont des singularités lissées.



- Où sont ces contours ?

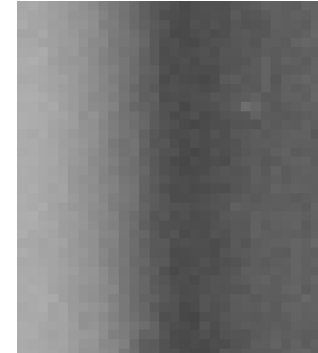
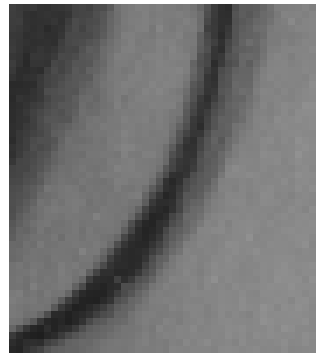
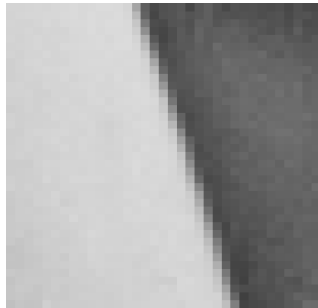


Détection des contours

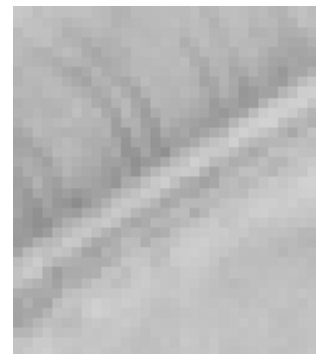
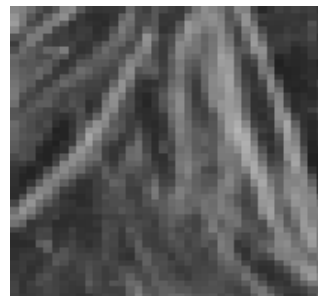
- Un problème mal posé.



- Les contours sont des singularités lissées.



- Où sont ces contours ?



- L'estimation de la géométrie peut-elle être *bien posée* ?

Plan



Plan

- Représentation creuse et ondelettes

Plan

- Représentation creuse et ondelettes
- Bases de bandelettes adaptées à la géométrie

Plan

- Représentation creuse et ondelettes
- Bases de bandelettes adaptées à la géométrie
- Approximation non-linéaire en bandelettes

Plan

- Représentation creuse et ondelettes
- Bases de bandelettes adaptées à la géométrie
- Approximation non-linéaire en bandelettes
- Application à la compression et au débruitage

Représentation creuse



Représentation creuse

- Décomposition dans une base orthonormée $\mathcal{B} = \{g_m\}_{m \in \mathbb{N}}$

$$f = \sum_{m \in \mathbb{N}} \langle f, g_m \rangle g_m$$

Représentation creuse

- Décomposition dans une base orthonormée $\mathcal{B} = \{g_m\}_{m \in \mathbb{N}}$

$$f = \sum_{m \in \mathbb{N}} \langle f, g_m \rangle g_m$$

- Approximation avec M vecteurs choisis adaptativement

$$f_M = \sum_{m \in I_M} \langle f, g_m \rangle g_m$$

Représentation creuse

- Décomposition dans une base orthonormée $\mathcal{B} = \{g_m\}_{m \in \mathbb{N}}$

$$f = \sum_{m \in \mathbb{N}} \langle f, g_m \rangle g_m$$

- Approximation avec M vecteurs choisis adaptativement

$$f_M = \sum_{m \in I_M} \langle f, g_m \rangle g_m$$

- On veut minimiser $\|f - f_M\|^2 = \sum_{m \notin I_M} |\langle f, g_m \rangle|^2$

Représentation creuse

- Décomposition dans une base orthonormée $\mathcal{B} = \{g_m\}_{m \in \mathbb{N}}$

$$f = \sum_{m \in \mathbb{N}} \langle f, g_m \rangle g_m$$

- Approximation avec M vecteurs choisis adaptativement

$$f_M = \sum_{m \in I_M} \langle f, g_m \rangle g_m$$

- On veut minimiser $\|f - f_M\|^2 = \sum_{m \notin I_M} |\langle f, g_m \rangle|^2$

- I_M doit correspondre au M plus grands produits scalaires :

$$I_M = \{m, |\langle f, g_m \rangle| > T_M\} : \text{seuillage}$$

Représentation creuse

- Décomposition dans une base orthonormée $\mathcal{B} = \{g_m\}_{m \in \mathbb{N}}$

$$f = \sum_{m \in \mathbb{N}} \langle f, g_m \rangle g_m$$

- Approximation avec M vecteurs choisis adaptativement

$$f_M = \sum_{m \in I_M} \langle f, g_m \rangle g_m$$

- On veut minimiser $\|f - f_M\|^2 = \sum_{m \notin I_M} |\langle f, g_m \rangle|^2$

- I_M doit correspondre au M plus grands produits scalaires :

$$I_M = \{m, |\langle f, g_m \rangle| > T_M\} : \text{seuillage}$$

- **Problème** : Comment choisir la base \mathcal{B} pour que

$$\|f - f_M\|^2 \leq CM^{-\alpha} \text{ avec un grand } \alpha ?$$

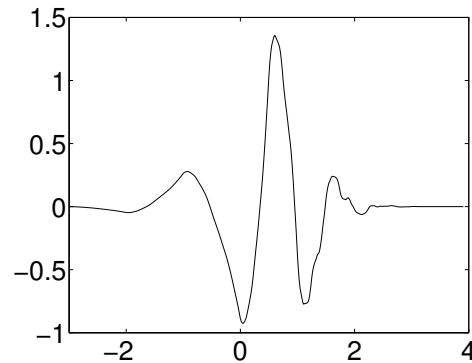
Ondelettes 1D



Ondelettes 1D

- Construites à partir d'une ondelette mère $\psi(x)$ dilatée par 2^j et translatée par $2^j n$

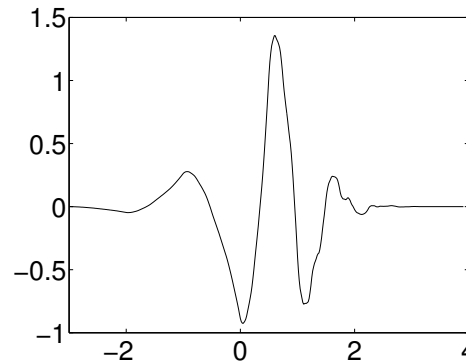
$$\psi_{j,n}(x) = \frac{1}{\sqrt{2^j}} \psi\left(\frac{x - 2^j n}{2^j}\right) .$$



Ondelettes 1D

- Construites à partir d'une ondelette mère $\psi(x)$ dilatée par 2^j et translatée par $2^j n$

$$\psi_{j,n}(x) = \frac{1}{\sqrt{2^j}} \psi\left(\frac{x - 2^j n}{2^j}\right).$$



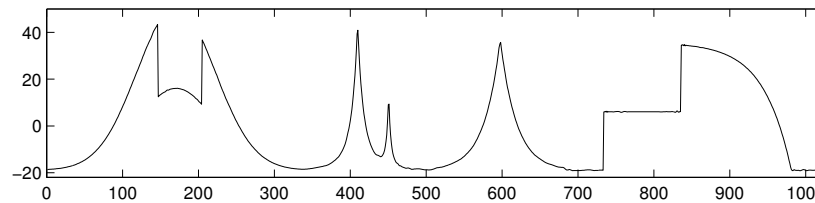
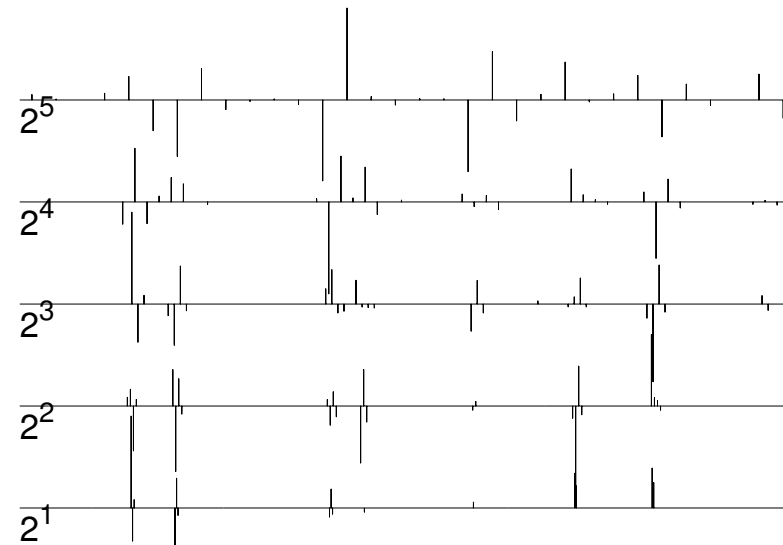
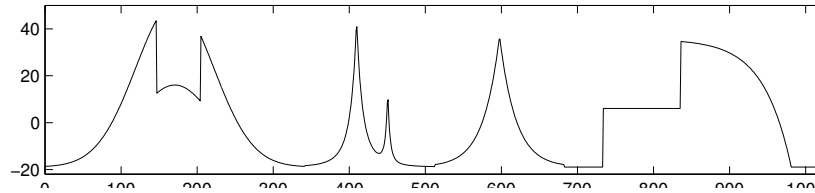
- $\mathcal{B} = \left\{ \psi_{j,n} \right\}_{j \in \mathbb{N}, 2^j n \in [0,1]}$ est une base orthonormée de $L^2([0, 1])$.

Approximation non-linéaire en ondelettes



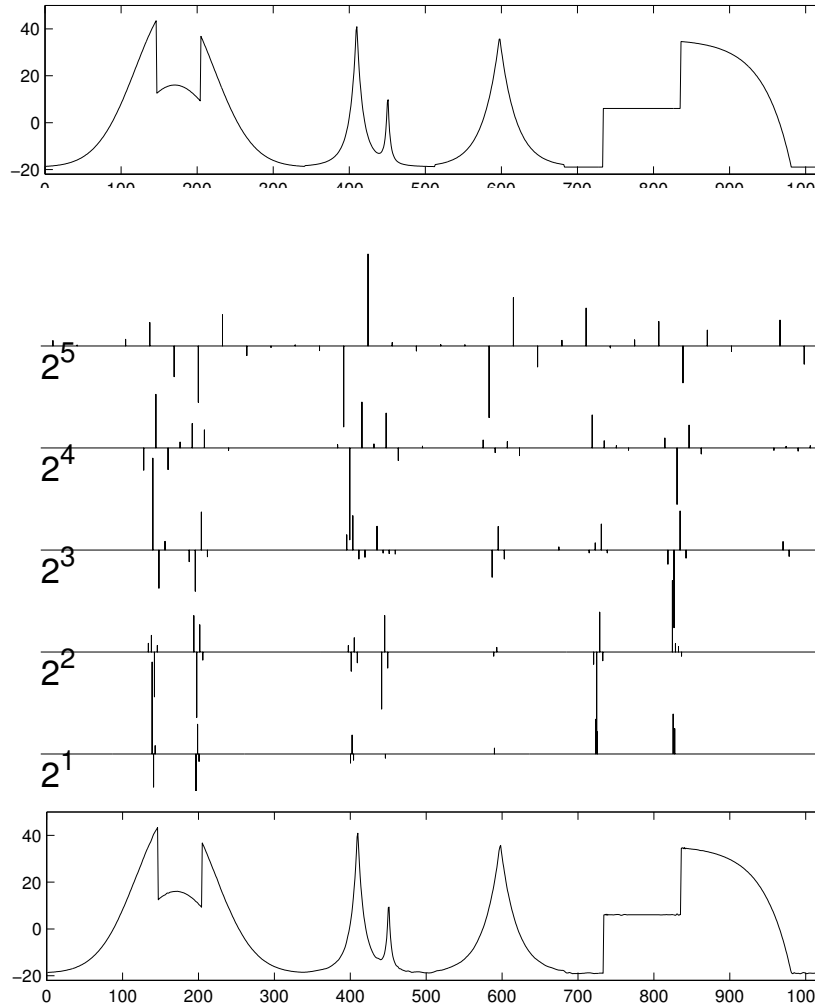
Approximation non-linéaire en ondelettes

- Approximation d'un signal régulier par morceaux :



Approximation non-linéaire en ondelettes

- Approximation d'un signal régulier par morceaux :



- $\|f - f_M\|^2 = O(M^{-2\alpha})$ où α est la régularité lipschitzienne entre les singularités.

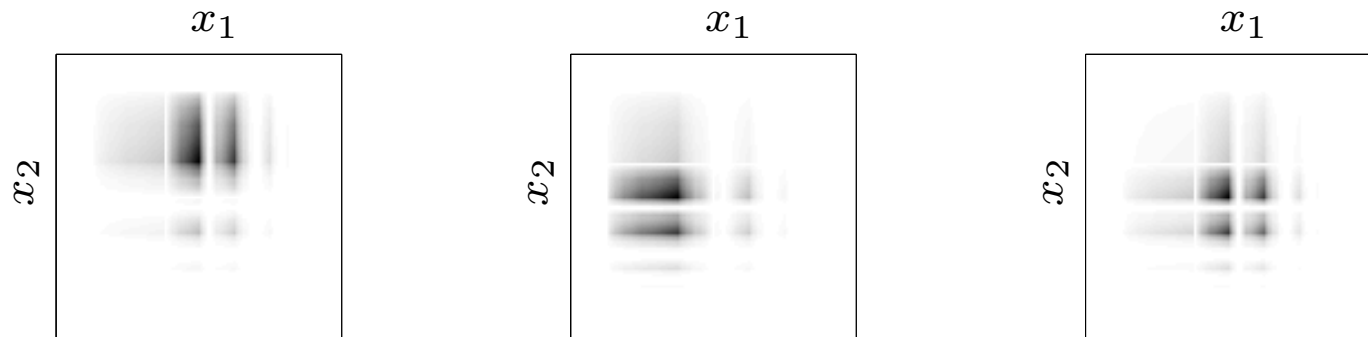
Ondelettes 2D



Ondelettes 2D

- Construites à partir de 3 ondelettes $\psi^k(x_1, x_2)$ avec $k = 1, 2, 3$ dilatées par 2^j et translatées par $2^j(n_1, n_2)$

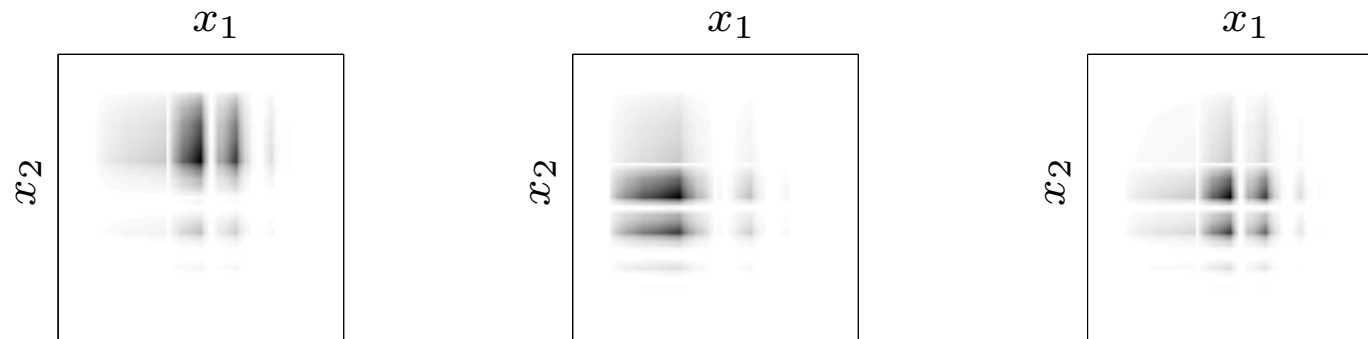
$$\psi_{j,n}^k(x_1, x_2) = \frac{1}{2^j} \psi^k\left(\frac{x_1 - 2^j n_1}{2^j}, \frac{x_2 - 2^j n_2}{2^j}\right).$$



Ondelettes 2D

- Construites à partir de 3 ondelettes $\psi^k(x_1, x_2)$ avec $k = 1, 2, 3$ dilatées par 2^j et translatées par $2^j(n_1, n_2)$

$$\psi_{j,n}^k(x_1, x_2) = \frac{1}{2^j} \psi^k\left(\frac{x_1 - 2^j n_1}{2^j}, \frac{x_2 - 2^j n_2}{2^j}\right).$$

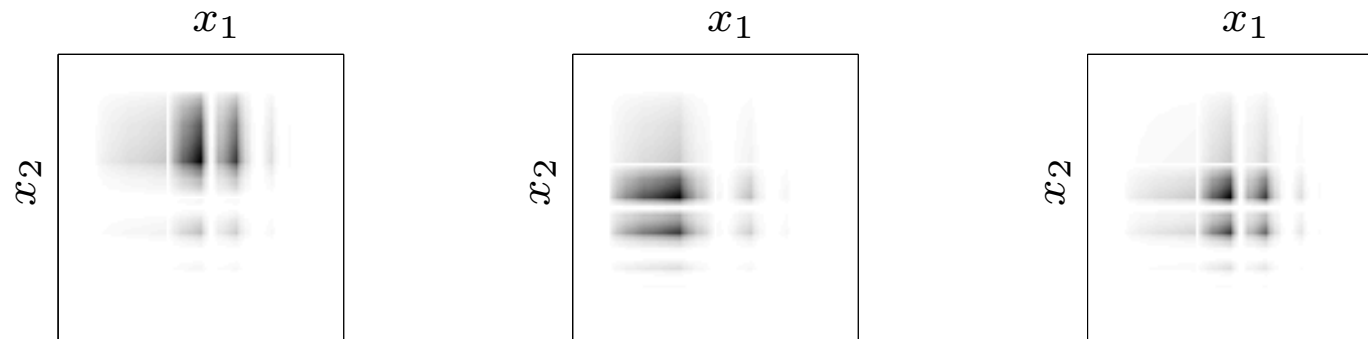


- $\mathcal{B} = \left\{ \psi_{j,n}^k \right\}_{j \in \mathbb{N}, 2^j n \in [0,1]^2, 1 \leq k \leq 3}$ est une base orthonormée de $L^2([0, 1]^2)$.

Ondelettes 2D

- Construites à partir de 3 ondelettes $\psi^k(x_1, x_2)$ avec $k = 1, 2, 3$ dilatées par 2^j et translatées par $2^j(n_1, n_2)$

$$\psi_{j,n}^k(x_1, x_2) = \frac{1}{2^j} \psi^k\left(\frac{x_1 - 2^j n_1}{2^j}, \frac{x_2 - 2^j n_2}{2^j}\right).$$



- $\mathcal{B} = \left\{ \psi_{j,n}^k \right\}_{j \in \mathbb{N}, 2^j n \in [0,1]^2, 1 \leq k \leq 3}$ est une base orthonormée de $L^2([0, 1]^2)$.
- Ondelettes *isotropes*.

Succès et échecs des ondelettes



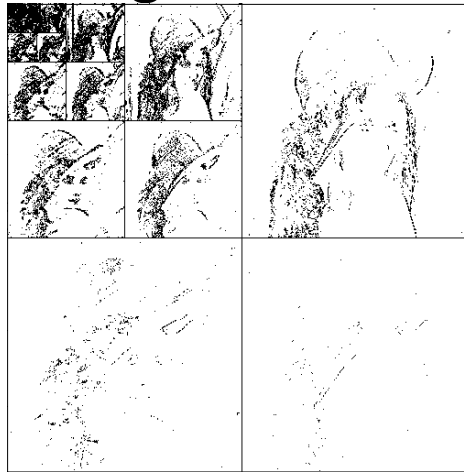
Succès et échecs des ondelettes

- Les images sont représentées dans une base d'ondelettes bidimensionnelles et les plus grands coefficients sont conservés (JPEG2000).

f



M coefficients
significatifs

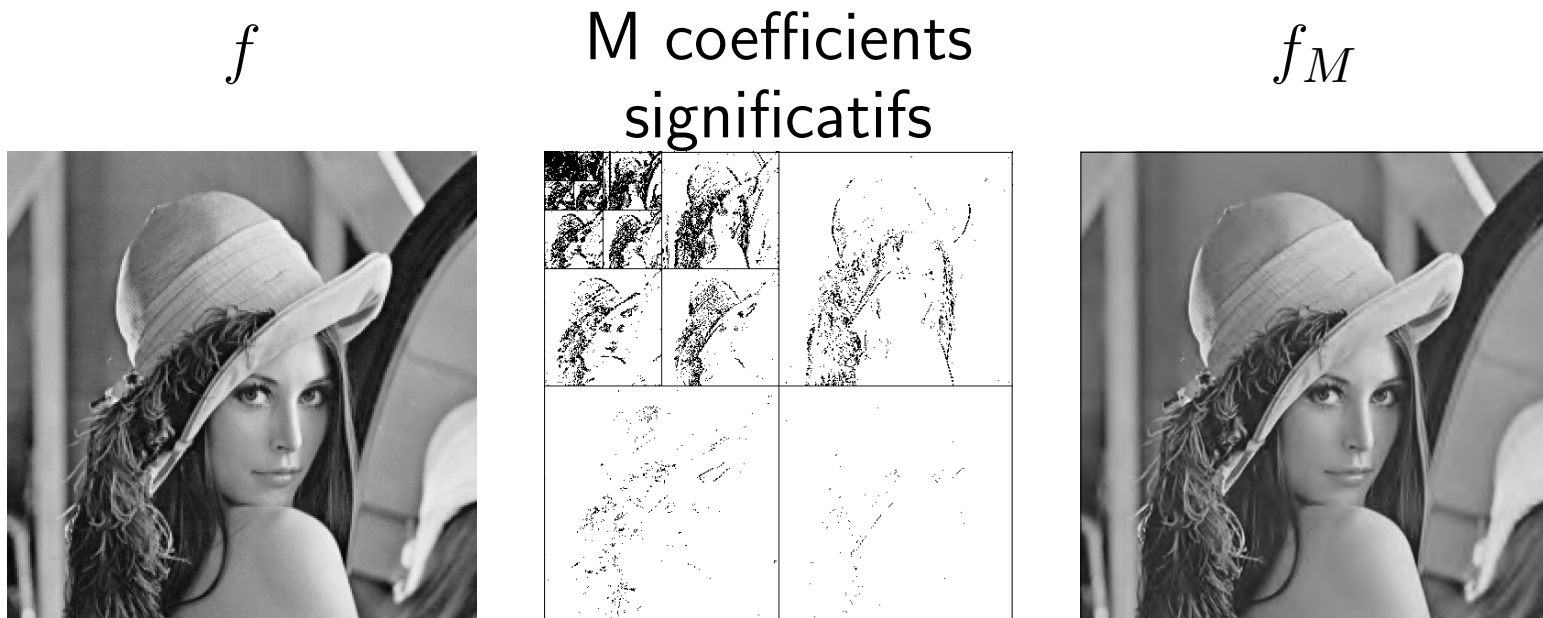


f_M



Succès et échecs des ondelettes

- Les images sont représentées dans une base d'ondelettes bidimensionnelles et les plus grands coefficients sont conservés (JPEG2000).



- Ne tient pas en compte la géométrie.

Utilisation de la géométrie



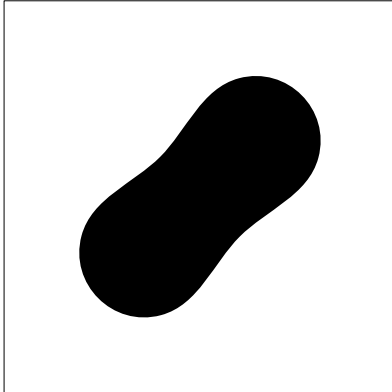
Utilisation de la géométrie

- La plupart des contours des images sont des courbes régulières.

Utilisation de la géométrie

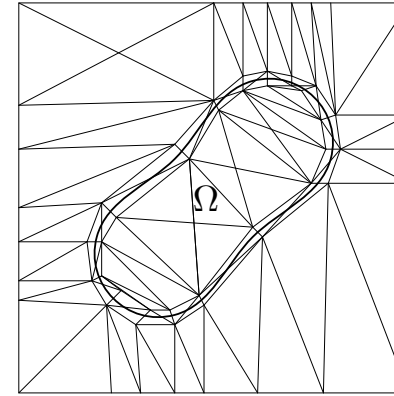
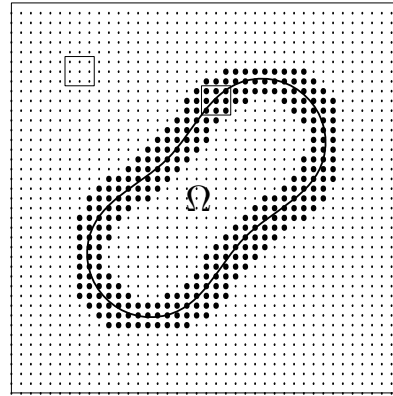
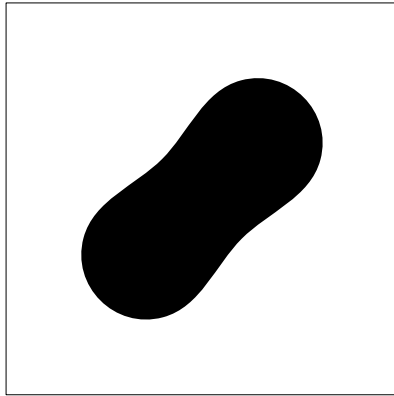
- La plupart des contours des images sont des courbes régulières.

- Exemple : $f = \mathbb{1}_\Omega$ où la frontière $\partial\Omega$ est régulière (\mathcal{C}^α avec $\alpha \geq 2$).



Utilisation de la géométrie

- La plupart des contours des images sont des courbes régulières.
- Exemple : $f = \mathbb{1}_\Omega$ où la frontière $\partial\Omega$ est régulière (C^α avec $\alpha \geq 2$).

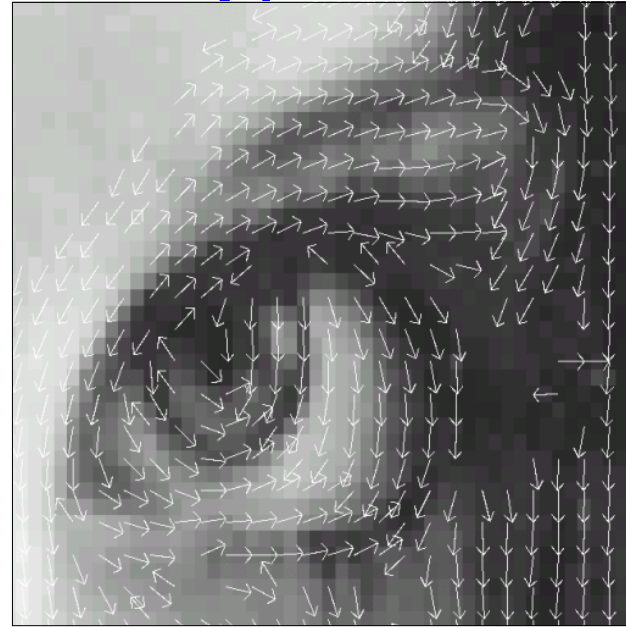
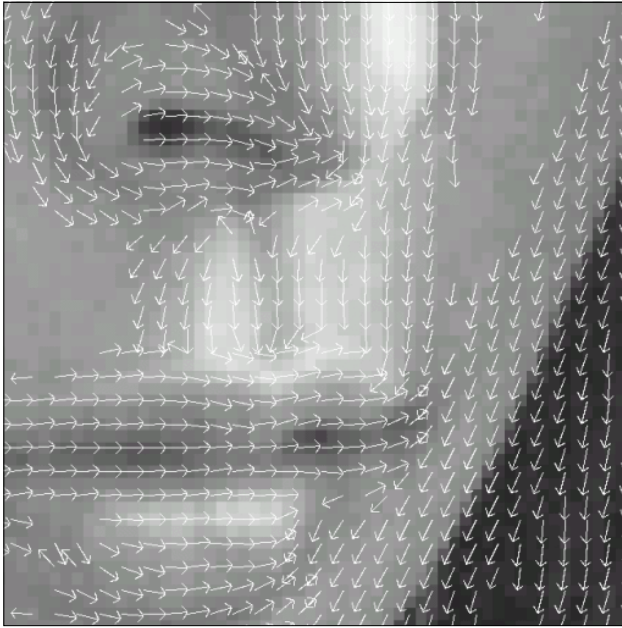


- Approximations :
 - avec M ondelettes : $\|f - f_M\|^2 \leq C M^{-1}$,
 - linéaire par morceaux avec M triangles : $\|f - f_M\|^2 \leq C M^{-2}$,
 - linéaire par morceaux avec M éléments géométriques d'ordre plus élevé : $\|f - f_M\|^2 \leq C M^{-\alpha}$,
 - avec M curvelets (Candes, Donoho) :
 $\|f - f_M\|^2 \leq C (\log M) M^{-2}$,
 - avec M coefficients dans une décomposition adaptée aux contours (Cohen, Mateu) : $\|f - f_M\|^2 \leq C M^{-2}$

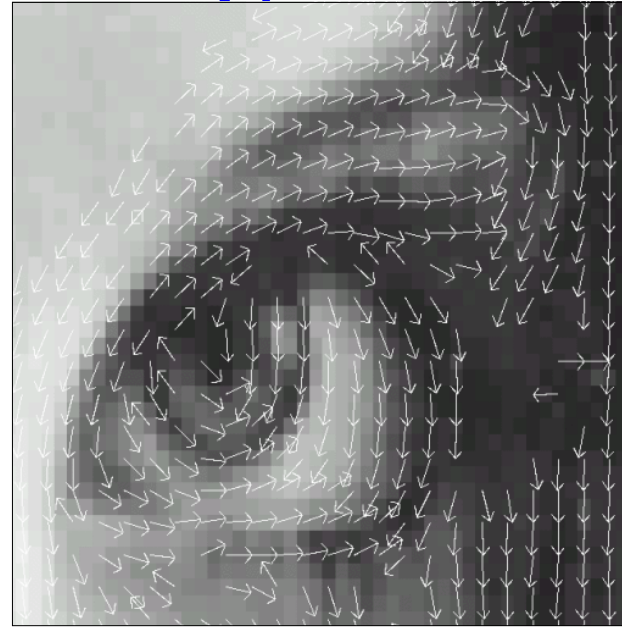
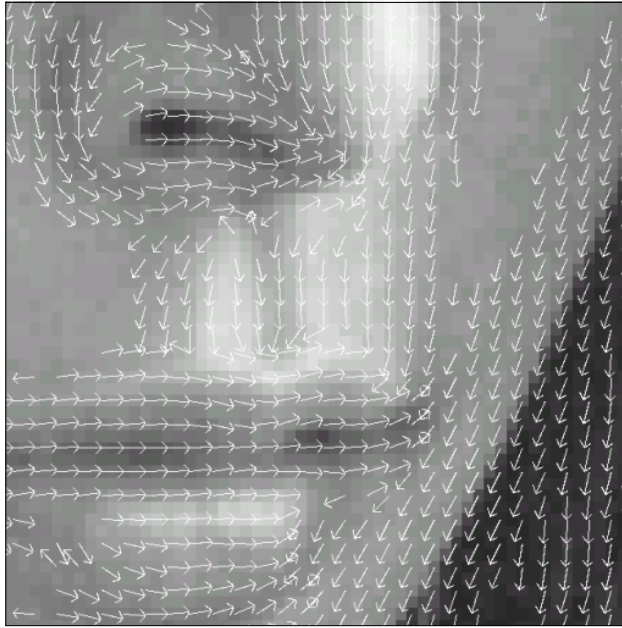
Représentation du flot géométrique



Représentation du flot géométrique

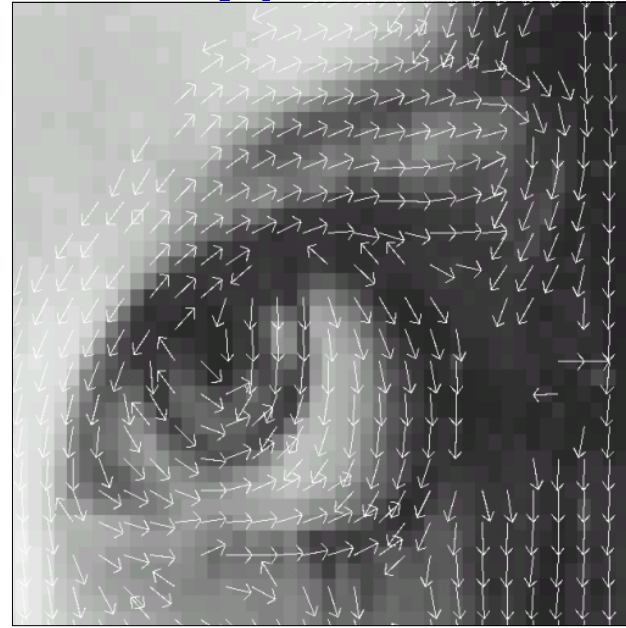
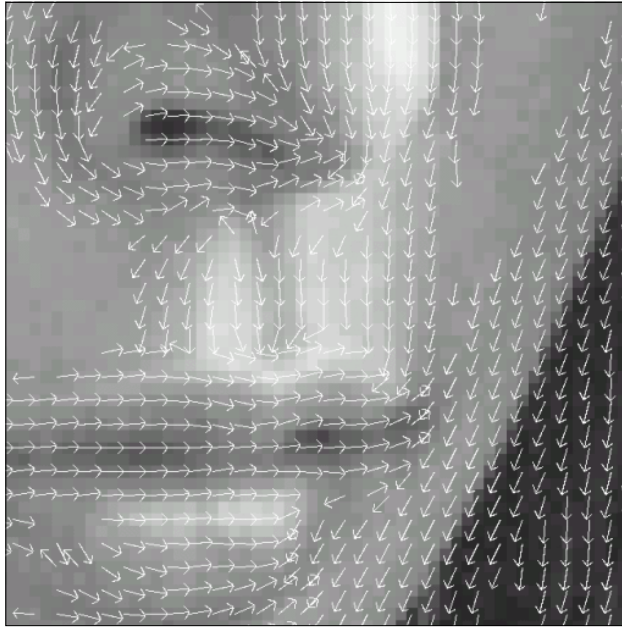


Représentation du flot géométrique



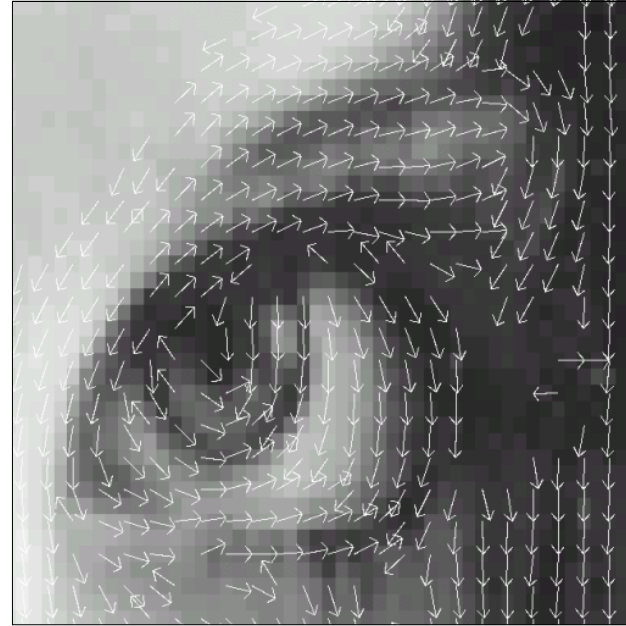
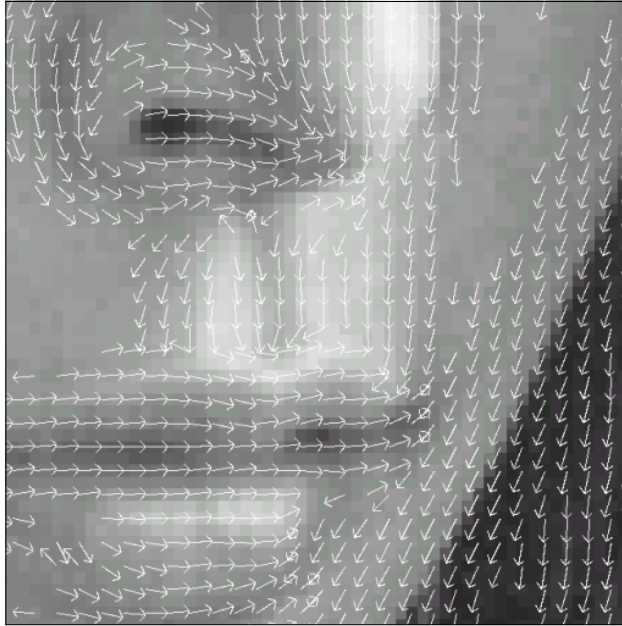
● Représentation :

Représentation du flot géométrique



- Représentation :
 - Flot géométrique : directions de régularité locale.
 - Base adaptée au lignes de flots

Représentation du flot géométrique

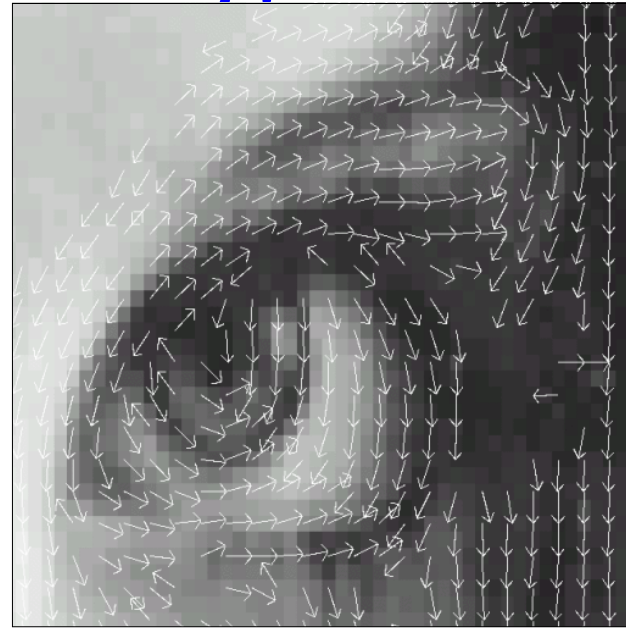
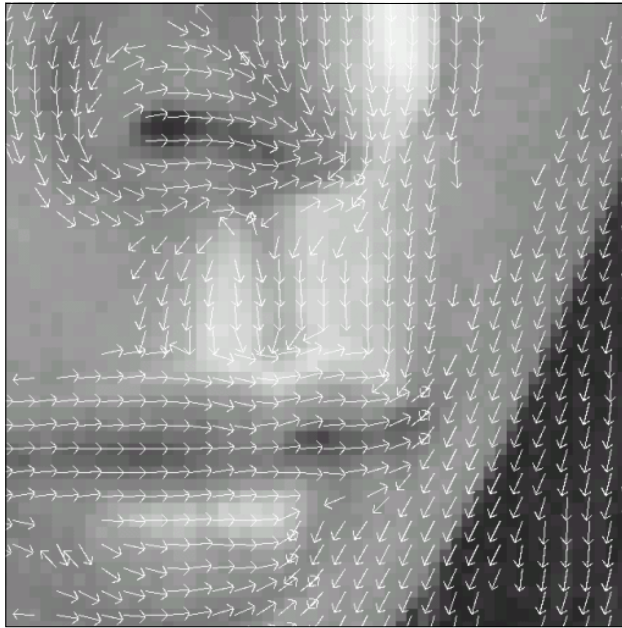


● Représentation :

- Flot géométrique : directions de régularité locale.
- Base adaptée au lignes de flots

} Creux

Représentation du flot géométrique



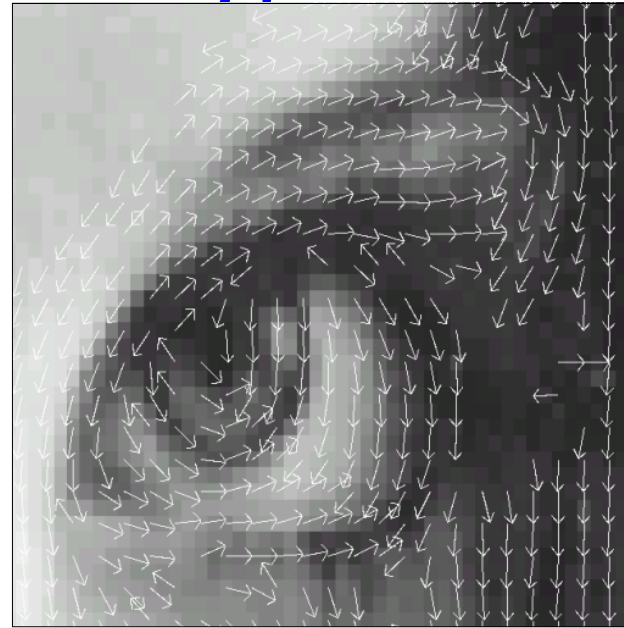
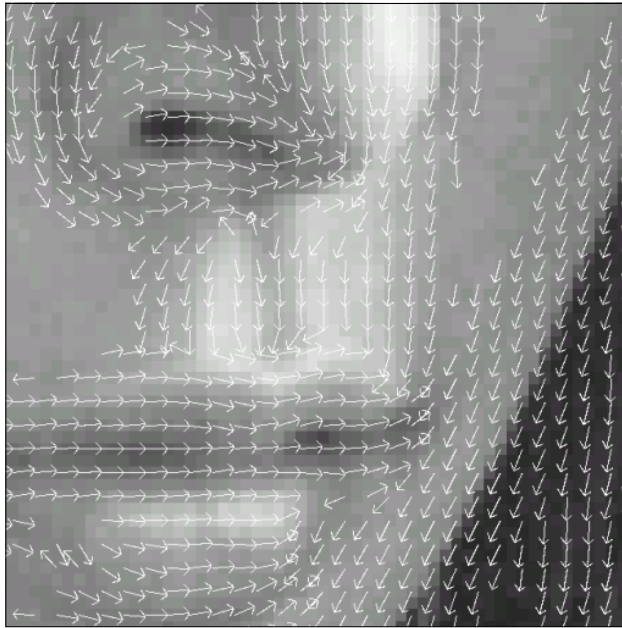
- Représentation :

- Flot géométrique : directions de régularité locale.
- Base adaptée au lignes de flots

} Creux

- Un flot régulier par morceaux :

Représentation du flot géométrique



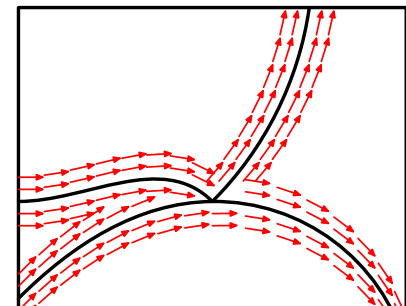
- Représentation :

- Flot géométrique : directions de régularité locale.
- Base adaptée au lignes de flots

} Creux

- Un flot régulier par morceaux :

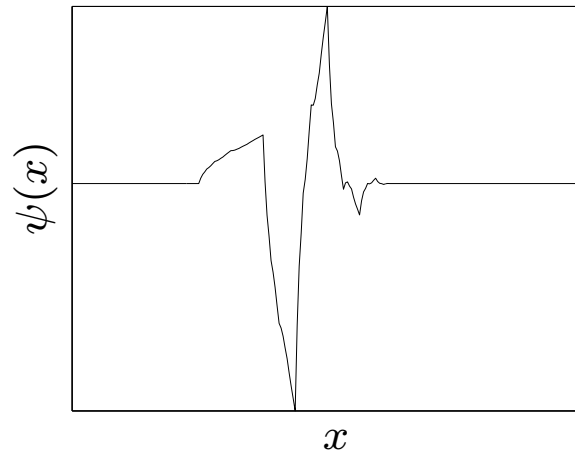
- Calcul du flot stabilisé.
- Représentation avec peu de coefficients.
- Prise en compte des jonctions.



Ondelettes anisotropes



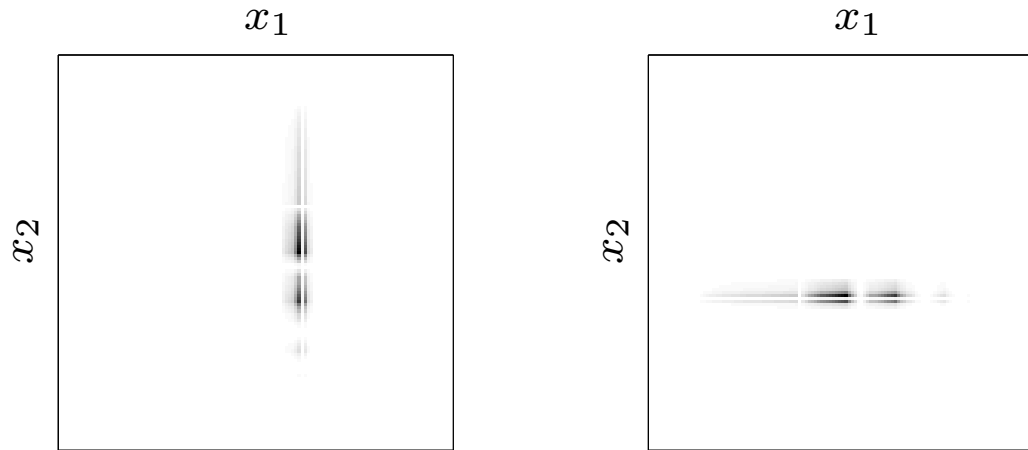
Ondelettes anisotropes



- Base d'ondelettes 1D :

$$\{\psi_{j,n}(x) = 2^{-j/2} \psi(2^{-j}(x - 2^j n))\}_{j \in \mathbb{Z}, 2^j n \in [0,1]} \cdot$$

Ondelettes anisotropes



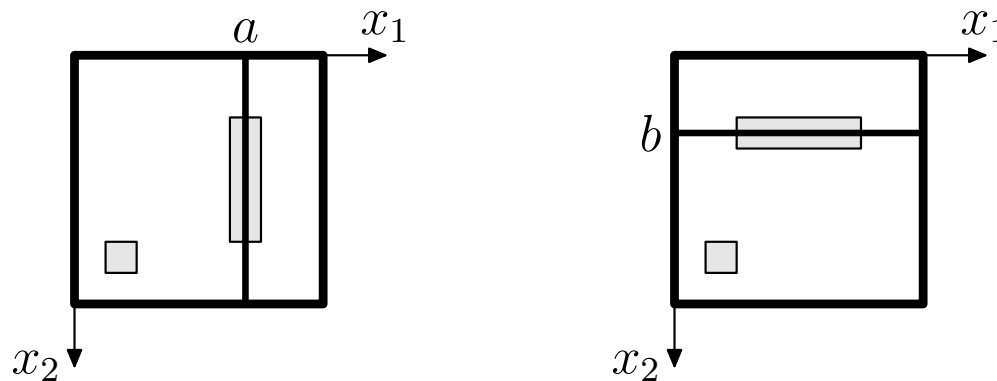
- Base d'ondelettes 1D :

$$\{\psi_{j,n}(x) = 2^{-j/2} \psi(2^{-j}(x - 2^j n))\}_{j \in \mathbb{Z}, 2^j n \in [0,1]} \cdot$$

- Base d'*ondelettes anisotropes* : produit tensoriel de base 1D

$$\{\psi_{j_1, n_1}(x_1) \psi_{j_2, n_2}(x_2)\}_{j_1, n_1, j_2, n_2} \cdot$$

Ondelettes anisotropes



- Base d'ondelettes 1D :

$$\{\psi_{j,n}(x) = 2^{-j/2} \psi(2^{-j}(x - 2^j n))\}_{j \in \mathbb{Z}, 2^j n \in [0,1]} .$$

- Base d'*ondelettes anisotropes* : produit tensoriel de base 1D

$$\{\psi_{j_1, n_1}(x_1) \psi_{j_2, n_2}(x_2)\}_{j_1, n_1, j_2, n_2} .$$

- **Théorème** : Si $f(x_1, x_2)$ est \mathcal{C}^α pour $x_1 < a$ et $x_1 > a$ ou pour $x_2 < b$ et $x_2 > b$ alors que $f_s = f$ ou $f_s = g_s \star f$ son approximation $f_{s,M}$ avec M ondelettes anisotropes satisfait

$$\|f_s - f_{s,M}\|^2 \leq C M^{-\alpha} .$$

Flot géométrique horizontal ou vertical



Flot géométrique horizontal ou vertical

- Sur une région, le flot géométrique est un champ de vecteur parallèle $\vec{\tau}(x_1, x_2)$:

$$\vec{\tau}(x_1, x_2) = \vec{\tau}(x_2) \quad \text{ou} \quad \vec{\tau}(x_1, x_2) = \vec{\tau}(x_1)$$

qui minimise

$$\int_{\Omega} \left| \nabla f(x_1, x_2) \cdot \vec{\tau}(x_1, x_2) \right|^2 dx_1 dx_2 = \int_{\Omega} \left| \frac{\partial f(x_1, x_2)}{\partial \vec{\tau}(x_1, x_2)} \right|^2 dx_1 dx_2 .$$

Flot géométrique horizontal ou vertical

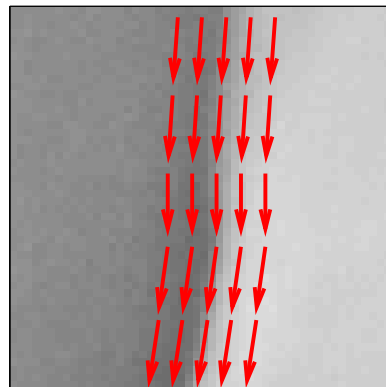
- Sur une région, le flot géométrique est un champ de vecteur parallèle $\vec{\tau}(x_1, x_2)$:

$$\vec{\tau}(x_1, x_2) = \vec{\tau}(x_2) \quad \text{ou} \quad \vec{\tau}(x_1, x_2) = \vec{\tau}(x_1)$$

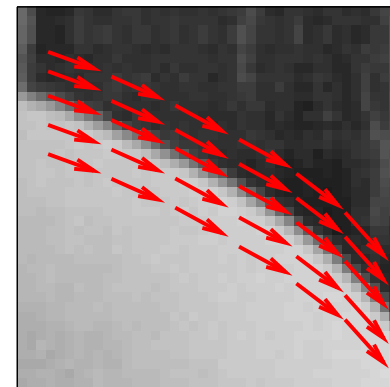
qui minimise

$$\int_{\Omega} \left| \nabla f(x_1, x_2) \cdot \vec{\tau}(x_1, x_2) \right|^2 dx_1 dx_2 = \int_{\Omega} \left| \frac{\partial f(x_1, x_2)}{\partial \vec{\tau}(x_1, x_2)} \right|^2 dx_1 dx_2 .$$

$$\vec{\tau}(x_1, x_2) = \vec{\tau}(x_2)$$



$$\vec{\tau}(x_1, x_2) = \vec{\tau}(x_1)$$



Flots, courbes et déformation

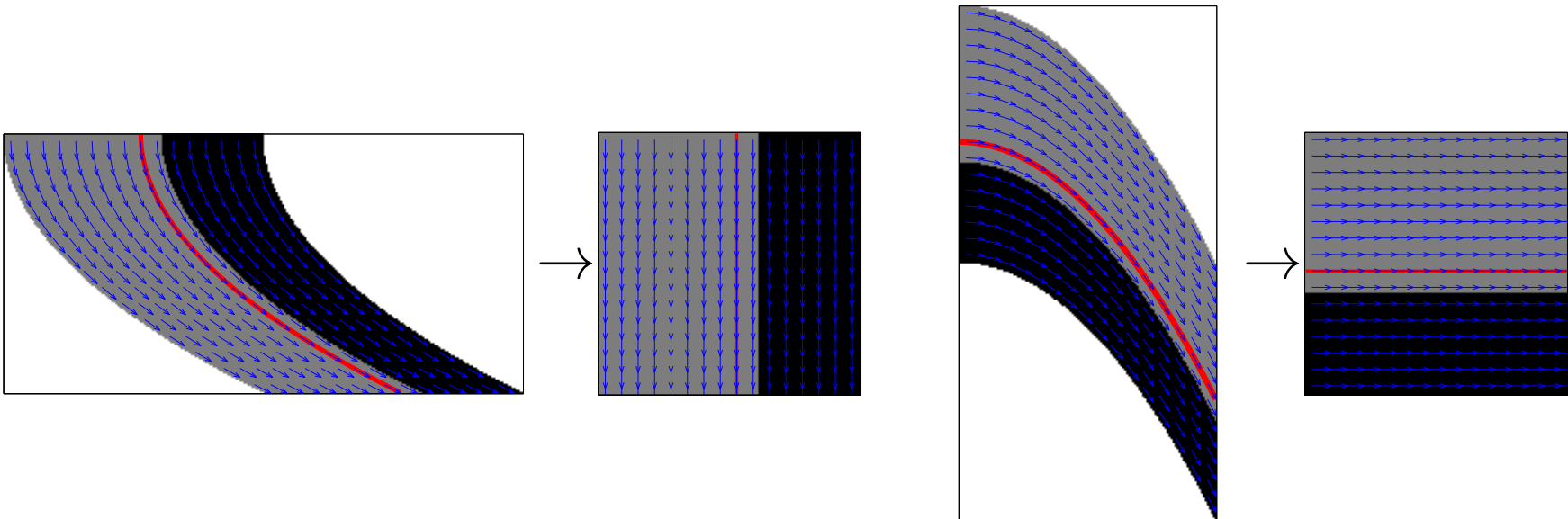


Flots, courbes et déformation

- Soit $x_1 = c(x_2)$ une courbe intégrale du flot $\vec{\tau}(x_1, x_2) = \vec{\tau}(x_2)$.
L'image $f_c(x_1, x_2) = f(x_1 + c(x_2), x_2)$ admet un flot strictement vertical.

Flots, courbes et déformation

- Soit $x_1 = c(x_2)$ une courbe intégrale du flot $\vec{\tau}(x_1, x_2) = \vec{\tau}(x_2)$. L'image $f_c(x_1, x_2) = f(x_1 + c(x_2), x_2)$ admet un flot strictement vertical.
- Soit $x_2 = c(x_1)$ une courbe intégrale du flot $\vec{\tau}(x_1, x_2) = \vec{\tau}(x_1)$. L'image $f_c(x_1, x_2) = f(x_1, x_2 + c(x_1))$ admet un flot strictement horizontal.



Bandelettes



Bandelettes

- Décomposer $f(x_1 + c(x_2), x_2)$ dans une base orthogonale d'ondelettes isotropes

$$\{\psi_{j_1, n_1}(x_1) \psi_{j_2, n_2}(x_2)\}_{j_1, j_2, n_1, n_2}$$

est équivalent à décomposer $f(x_1, x_2)$ dans une base orthogonale de *bandelettes*

$$\{\psi_{j_1, n_1}(x_1 - c(x_2)) \psi_{j_2, n_2}(x_2)\}_{j_1, j_2, n_1, n_2} \cdot$$

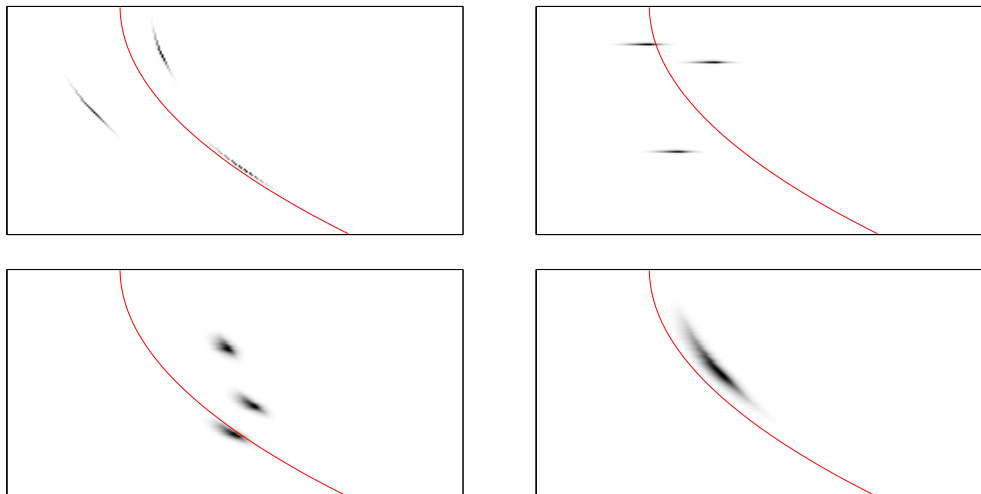
Bandelettes

- Décomposer $f(x_1 + c(x_2), x_2)$ dans une base orthogonale d'ondelettes isotropes

$$\{\psi_{j_1, n_1}(x_1) \psi_{j_2, n_2}(x_2)\}_{j_1, j_2, n_1, n_2}$$

est équivalent à décomposer $f(x_1, x_2)$ dans une base orthogonale de *bandelettes*

$$\{\psi_{j_1, n_1}(x_1 - c(x_2)) \psi_{j_2, n_2}(x_2)\}_{j_1, j_2, n_1, n_2} \cdot$$



Segmentation géométrique des images

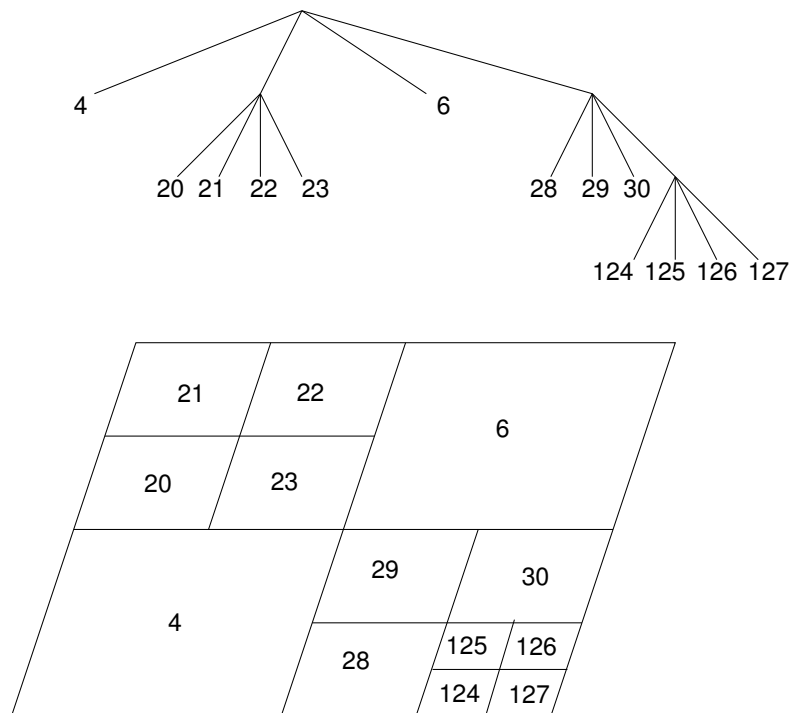


Segmentation géométrique des images

- L'image est segmentée en carrés dyadiques

Segmentation géométrique des images

- L'image est segmentée en carrés dyadiques avec soit :
 - un flot horizontal
 - un flot vertical
 - une régularité isotrope



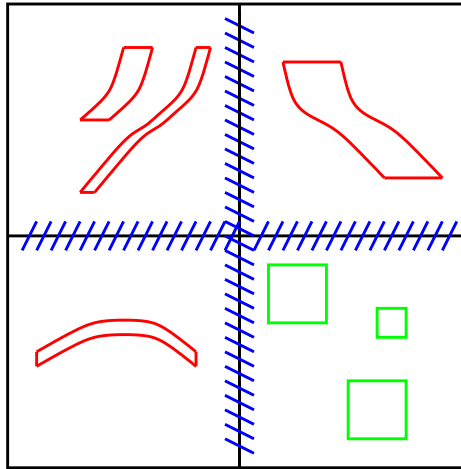
Bandelettes pour les images segmentées



Bandelettes pour les images segmentées

● Construction d'une base ou d'un frame de $L^2[0, 1]^2$ avec :

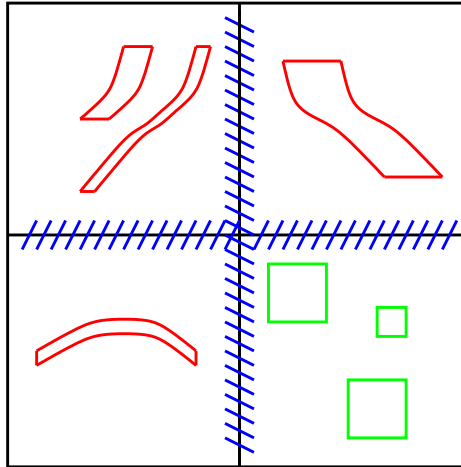
- des bandelettes suivant le flot géométriques dans les régions,
- des ondelettes déformées aux frontières.



Bandelettes pour les images segmentées

● Construction d'une base ou d'un frame de $L^2[0, 1]^2$ avec :

- des bandelettes suivant le flot géométriques dans les régions,
- des ondelettes déformées aux frontières.



● 3 constructions :

- Une base orthogonale de $L^2[0, 1]^2$ avec des ondelettes déformées discontinues dont le support reste dans les régions.
- Un frame de $L^2[0, 1]^2$ avec des ondelettes déformées régulières dont le support traverse les frontières.
- Une base de $L^2[0, 1]^2$ avec des ondelettes déformées

Calcul de la paramétrisation du flot



Calcul de la paramétrisation du flot

- Le flot horizontal $\vec{\tau}(x_1, x_2) = (1, c'(x_1))$ dans un carré Ω de longueur L calculé à l'échelle 2^l sous la forme

$$c'(x) = \sum_{n=1}^{L2^{-l}} \alpha_n \phi(2^l x - n) \text{ en trouvant les } L2^{-l} \text{ paramètres } \alpha_n$$

qui minimisent

$$\int_{\Omega} \left| \nabla f(x_1, x_2) \cdot \vec{\tau}(x_1, x_2) \right|^2 dx_1 dx_2 .$$

Calcul de la paramétrisation du flot

- Le flot horizontal $\vec{\tau}(x_1, x_2) = (1, c'(x_1))$ dans un carré Ω de longueur L calculé à l'échelle 2^l sous la forme

$$c'(x) = \sum_{n=1}^{L2^{-l}} \alpha_n \phi(2^l x - n) \text{ en trouvant les } L2^{-l} \text{ paramètres } \alpha_n$$

qui minimisent

$$\int_{\Omega} \left| \nabla f(x_1, x_2) \cdot \vec{\tau}(x_1, x_2) \right|^2 dx_1 dx_2 .$$

- Adaptation de l'échelle 2^l à la régularité du signal le long du flot

Calcul de la paramétrisation du flot

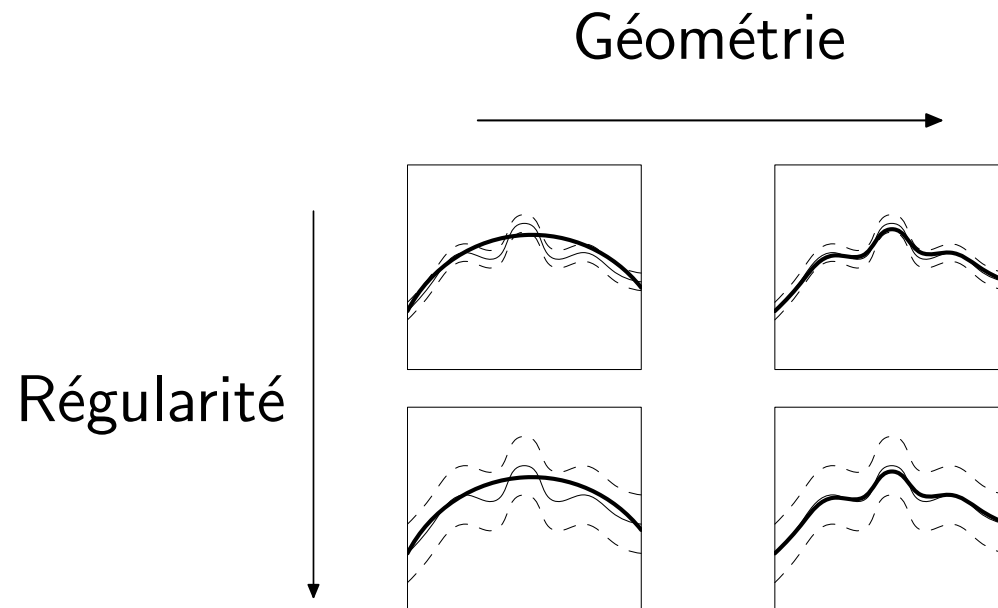
- Le flot horizontal $\vec{\tau}(x_1, x_2) = (1, c'(x_1))$ dans un carré Ω de longueur L calculé à l'échelle 2^l sous la forme

$$c'(x) = \sum_{n=1}^{L2^{-l}} \alpha_n \phi(2^l x - n) \text{ en trouvant les } L2^{-l} \text{ paramètres } \alpha_n$$

qui minimisent

$$\int_{\Omega} \left| \nabla f(x_1, x_2) \cdot \vec{\tau}(x_1, x_2) \right|^2 dx_1 dx_2 .$$

- Adaptation de l'échelle 2^l à la régularité du signal le long du flot



Calcul de la paramétrisation du flot

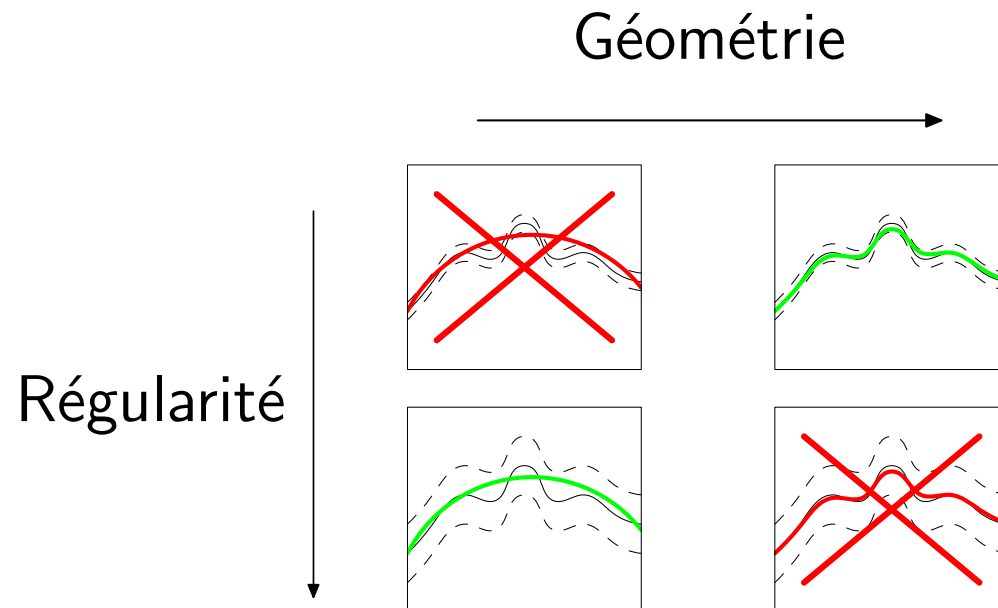
- Le flot horizontal $\vec{\tau}(x_1, x_2) = (1, c'(x_1))$ dans un carré Ω de longueur L calculé à l'échelle 2^l sous la forme

$$c'(x) = \sum_{n=1}^{L2^{-l}} \alpha_n \phi(2^l x - n) \text{ en trouvant les } L2^{-l} \text{ paramètres } \alpha_n$$

qui minimisent

$$\int_{\Omega} \left| \nabla f(x_1, x_2) \cdot \vec{\tau}(x_1, x_2) \right|^2 dx_1 dx_2 .$$

- Adaptation de l'échelle 2^l à la régularité du signal le long du flot



Approximation M-termes



Approximation M-termes

- L'approximation f_M en bandelettes d'une image est définie par :

Approximation M-termes

- L'approximation f_M en bandelettes d'une image est définie par :
 - une partition en carrés dyadiques, représentée par les M_s noeud intérieur de l'arbre quaternaire de la segmentation,

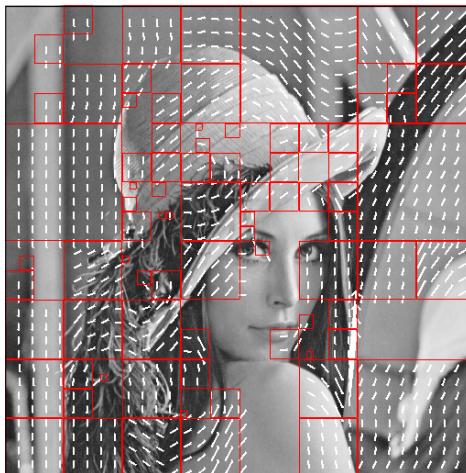
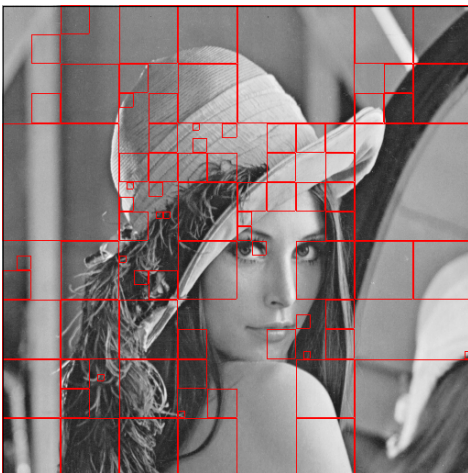
Approximation M-termes

- L'approximation f_M en bandelettes d'une image est définie par :
 - une partition en carrés dyadiques, représentée par les M_s noeud intérieur de l'arbre quaternaire de la segmentation,
 - dans chaque carré Ω_i de la segmentation par
 - $M_{g,i}$ coefficients du flot géométrique.
 - $M_{b,i}$ coefficients de bandelettes au dessus d'un seuil T .

Approximation M-termes

- L'approximation f_M en bandelettes d'une image est définie par :
 - une partition en carrés dyadiques, représentée par les M_s noeud intérieur de l'arbre quaternaire de la segmentation,
 - dans chaque carré Ω_i de la segmentation par
 - $M_{g,i}$ coefficients du flot géométrique.
 - $M_{b,i}$ coefficients de bandelettes au dessus d'un seuil T .
- Nombre total de paramètres :

$$M = M_s + \sum_i \left(M_{b,i} + M_{g,i} \right) .$$



Optimisation de l'approximation



Optimisation de l'approximation

- Minimiser $\|f - f_M\|^2$ pour un nombre M de paramètres.

Optimisation de l'approximation

- Minimiser $\|f - f_M\|^2$ pour un nombre M de paramètres.
- Approche Lagrangienne : recherche de la meilleure segmentation et du meilleur flot qui minimisent

$$\|f - f_M\|^2 + T^2 M .$$

Optimisation de l'approximation

- Minimiser $\|f - f_M\|^2$ pour un nombre M de paramètres.
- Approche Lagrangienne : recherche de la meilleure segmentation et du meilleur flot qui minimisent

$$\|f - f_M\|^2 + T^2 M .$$

- Algorithme rapide (CART) : programmation dynamique de bas en haut de la segmentation en arbre quaternaire.

Optimisation de l'approximation

- Minimiser $\|f - f_M\|^2$ pour un nombre M de paramètres.
- Approche Lagrangienne : recherche de la meilleure segmentation et du meilleur flot qui minimisent

$$\|f - f_M\|^2 + T^2 M .$$

- Algorithme rapide (CART) : programmation dynamique de bas en haut de la segmentation en arbre quaternaire.
- Complexité : $O(N (\log N)^2)$ pour N pixels.

Approximation non-linéaire



Approximation non-linéaire

- **Théorème** Soit une fonction \mathcal{C}^α en dehors d'un ensemble de courbes elles-mêmes \mathcal{C}^α , l'approximation $f_{s,M}$ de $f_s = g_s \star f$ avec M coefficients satisfait

$$\|f_s - f_{s,M}\|^2 \leq C M^{-\alpha} .$$

Approximation non-linéaire

- **Théorème** Soit une fonction \mathcal{C}^α en dehors d'un ensemble de courbes elles-mêmes \mathcal{C}^α , l'approximation $f_{s,M}$ de $f_s = g_s \star f$ avec M coefficients satisfait

$$\|f_s - f_{s,M}\|^2 \leq C M^{-\alpha} .$$

- Régularité α inconnue.

Approximation non-linéaire

- **Théorème** fonction C^α en dehors d'un ensemble de courbes elles-mêmes C^α , l'approximation $f_{s,M}$ de $f_s = g_s \star f$ avec M coefficients satisfait

$$\|f_s - f_{s,M}\|^2 \leq C M^{-\alpha} .$$

- Régularité α inconnue.
- Noyau de lissage g_s inconnu.

Approximation non-linéaire

- **Théorème** fonction \mathcal{C}^α en dehors d'un ensemble de courbes elles-mêmes \mathcal{C}^α , l'approximation $f_{s,M}$ de $f_s = g_s \star f$ avec M coefficients satisfait

$$\|f_s - f_{s,M}\|^2 \leq C M^{-\alpha} .$$

- Régularité α inconnue.
- Noyau de lissage g_s inconnu.
- Amélioration par rapport :
 - aux ondelettes : $\|f_s - f_{s,M}\|^2 \leq C M^{-1}$,
 - aux *curvelets* : $\|f_s - f_{s,M}\|^2 \leq C (\log M) M^{-2}$.

Approximation non-linéaire

- **Théorème** fonction C^α en dehors d'un ensemble de courbes elles-même C^α , l'approximation $f_{s,M}$ de $f_s = g_s \star f$ avec M coefficients satisfait

$$\|f_s - f_{s,M}\|^2 \leq C M^{-\alpha} .$$

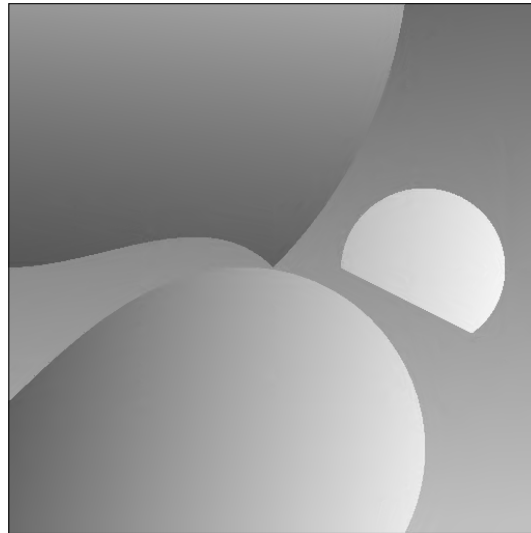
- Régularité α inconnue.
- Noyau de lissage g_s inconnu.
- Amélioration par rapport :
 - aux ondelettes : $\|f_s - f_{s,M}\|^2 \leq C M^{-1}$,
 - aux *curvelets* : $\|f_s - f_{s,M}\|^2 \leq C (\log M) M^{-2}$.
- Optimalité pour la classe des fonctions étoilées de Donoho

Image régulière par morceaux

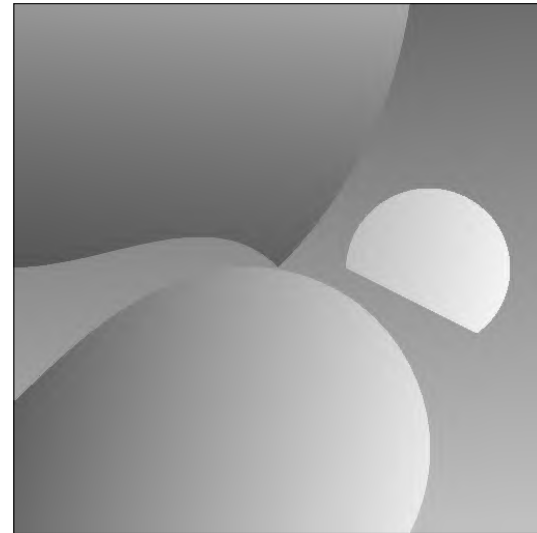


Image régulière par morceaux

PSNR = 50,15 dB



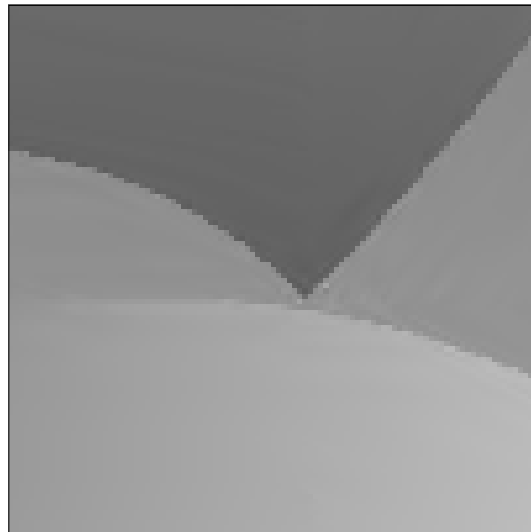
PSNR = 45,73 dB



$M = 2370$

Bandelettes

Ondelettes

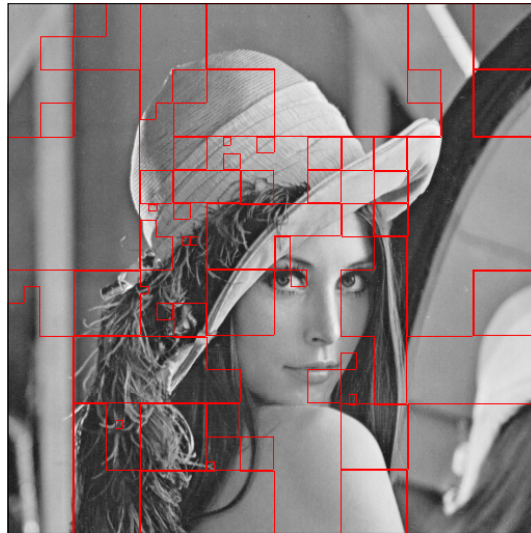


Approximation



Approximation

Originale



Bandelettes (35.04 dB)



$M = 11516$

Ondelettes (34,64 dB)



Cosinus par blocs (33,51 dB)



Approximation

Originale



Bandelettes (35,04 dB)



$M = 11516$

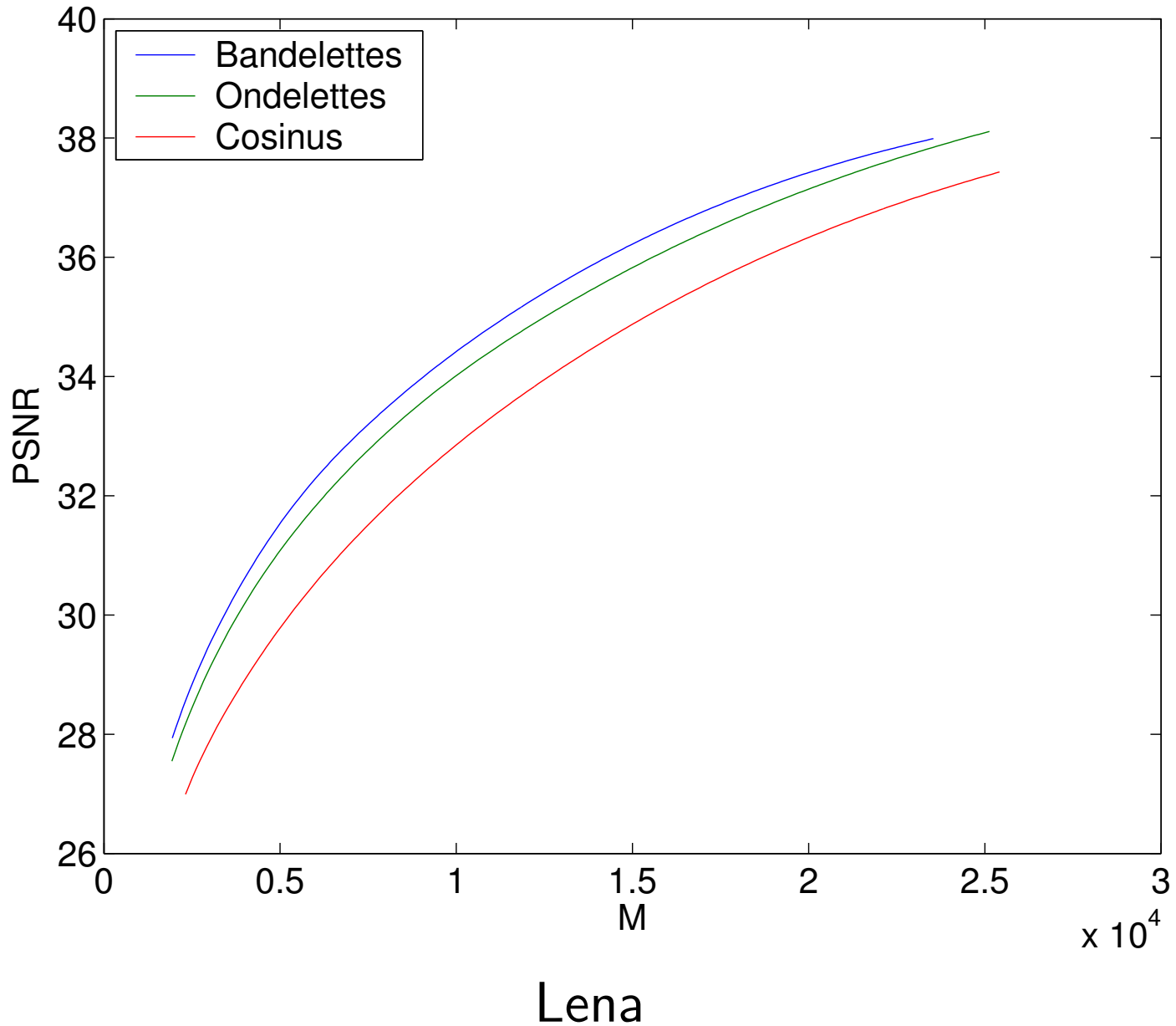
Ondelettes (34,64 dB)



Cosinus par blocs (33,51 dB)

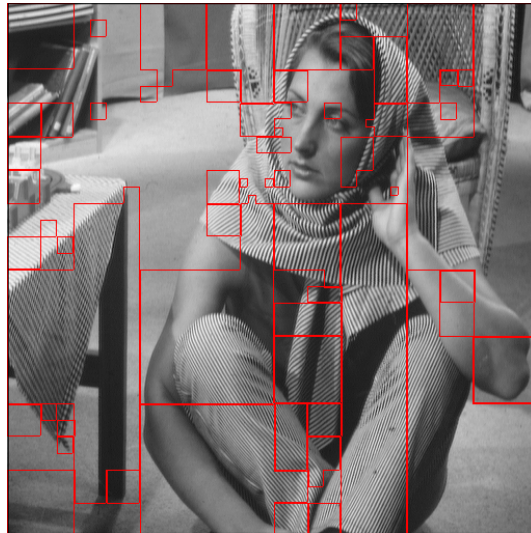


Approximation



Approximation

Originale



Bandelettes (31,33 dB)



$M = 14439$

Ondelettes (29,45 dB)



Cosinus par blocs (29,96 dB)

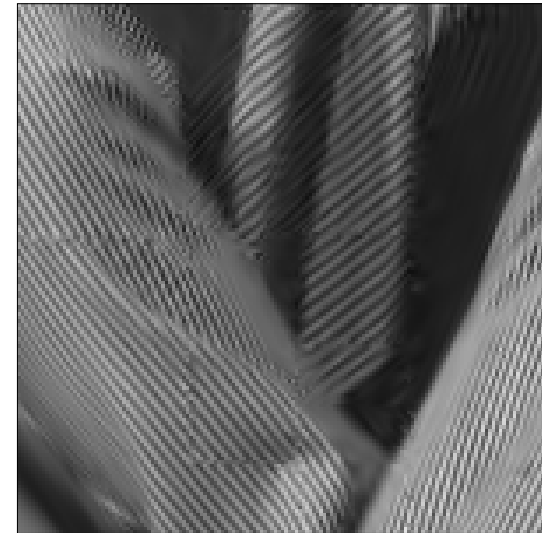


Approximation

Originale



Bandelettes (31,33 dB)

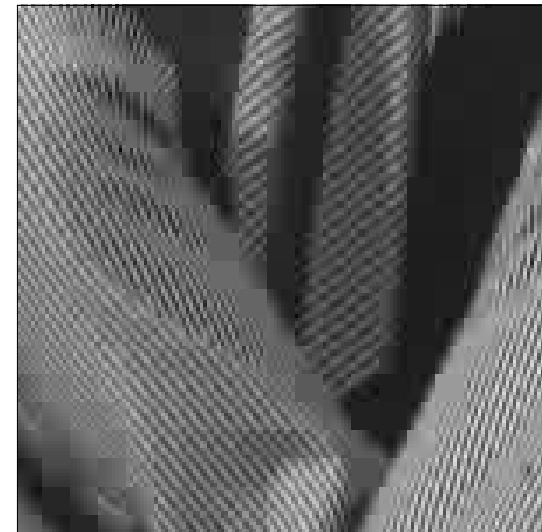


$M = 14439$

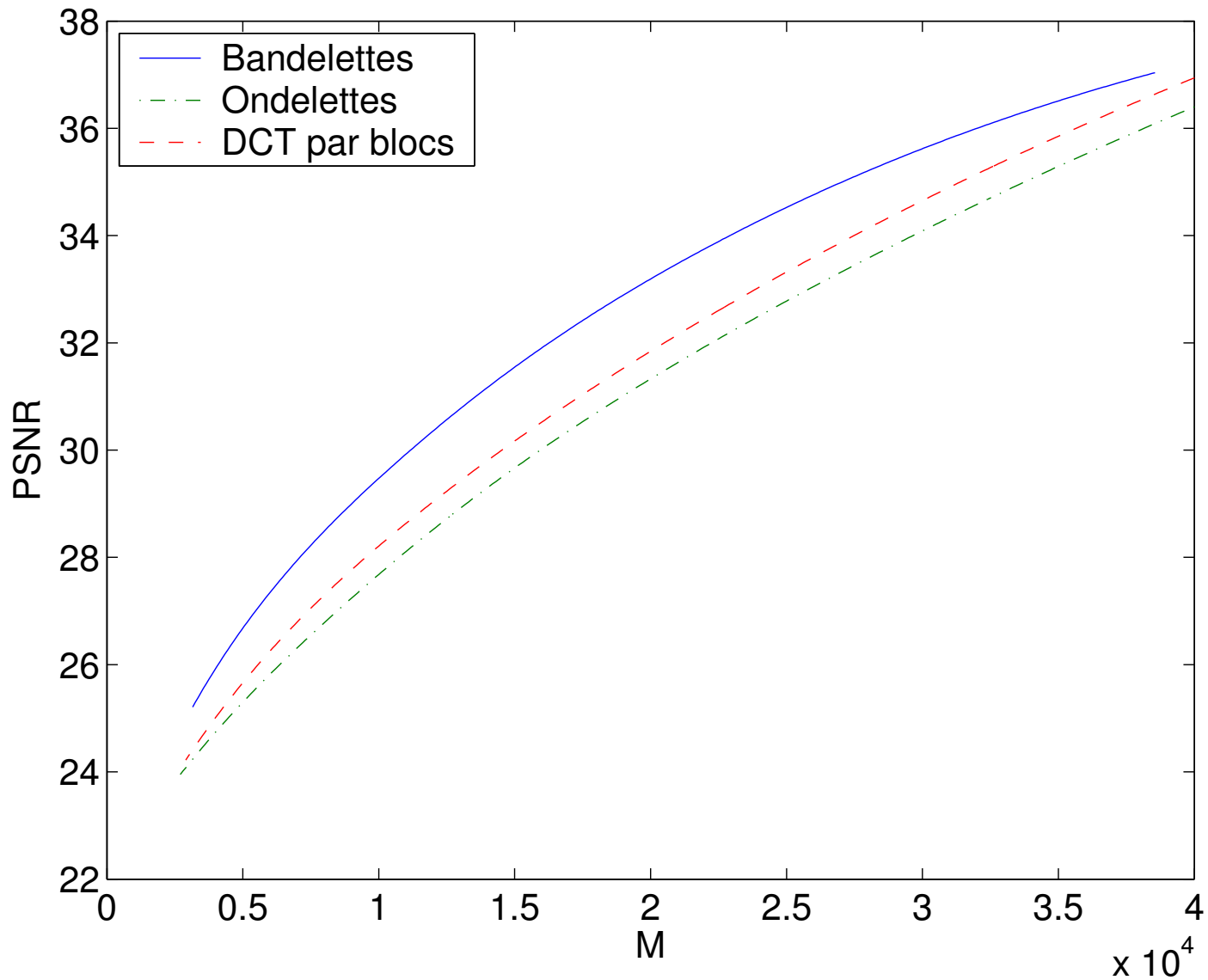
Ondelettes (29,45 dB)



Cosinus par blocs (29,96 dB)



Approximation



Barbara

Débruitage par seuillage *(Donoho, Johnstone)*



Débruitage par seuillage *(Donoho, Johnstone)*

f



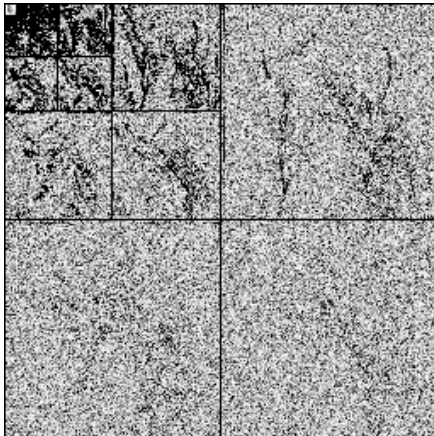
$X = f + W$



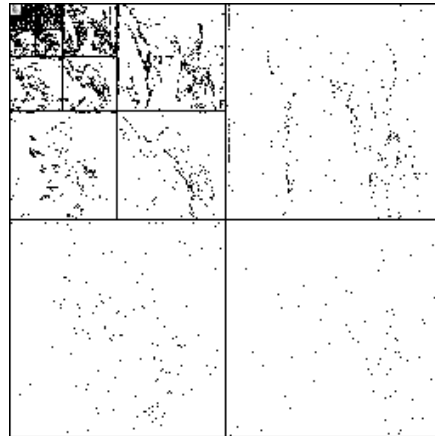
$F = X \star h$



$\langle X, \psi_{j,n}^k \rangle$



Seuil($\langle X, \psi_{j,n}^k \rangle$)



$F = T_{\beta} X$



Débruitage



Débruitage

Originale



Bruitée (22,12 dB)



Bandelettes (29,42 dB)

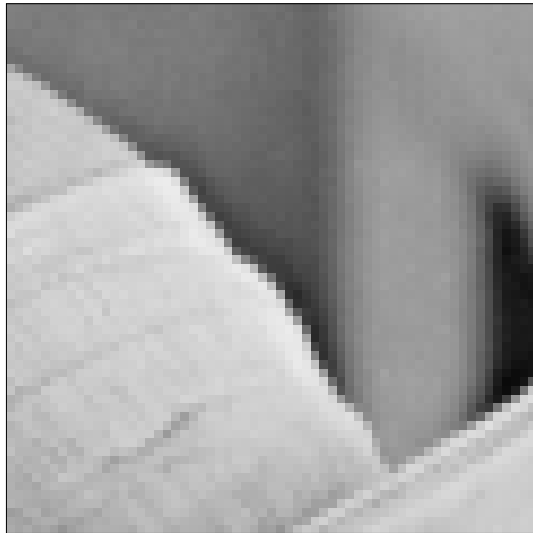


Ondelettes (28,67 dB)

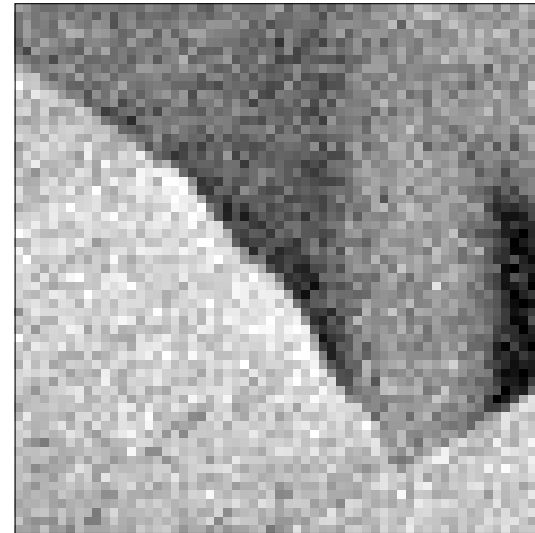


Débruitage

Originale



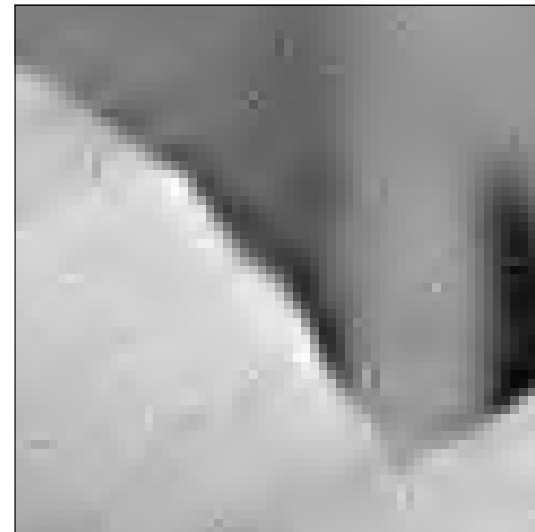
Bruitée (22,12 dB)



Bandelettes (29,42 dB)



Ondelettes (28,67 dB)



Débruitage

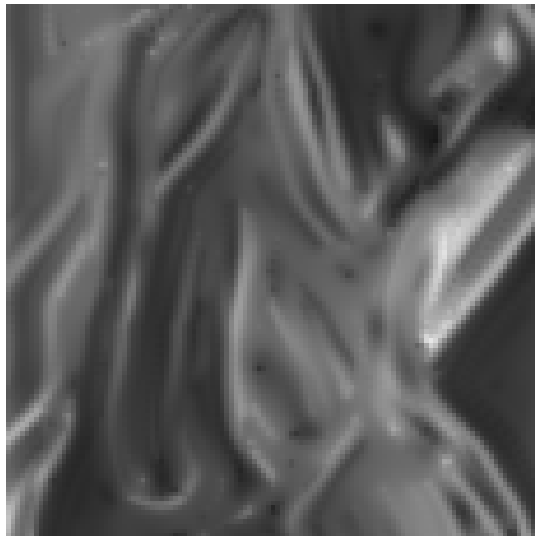
Originale



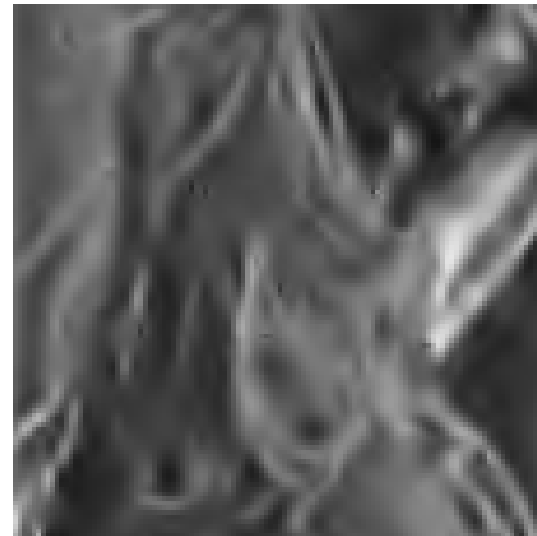
Bruitée (22,12 dB)



Bandelettes (29,42 dB)



Ondelettes (28,67 dB)



Compression



Compression

- Approximation non-linéaire suivi d'une quantification et d'un codage entropique.

Compression

- Approximation non-linéaire suivi d'une quantification et d'un codage entropique.
- Minimiser $\|f - f_M\|^2$ pour un nombre M de bits.

Compression

- Approximation non-linéaire suivi d'une quantification et d'un codage entropique.
- Minimiser $\|f - f_M\|^2$ pour un nombre M de bits.
- Approche Lagrangienne : recherche de la meilleure segmentation et du meilleur flot qui minimisent

$$\|f - f_M\|^2 + \lambda M .$$

Compression

- Approximation non-linéaire suivi d'une quantification et d'un codage entropique.
- Minimiser $\|f - f_M\|^2$ pour un nombre M de bits.
- Approche Lagrangienne : recherche de la meilleure segmentation et du meilleur flot qui minimisent

$$\|f - f_M\|^2 + \lambda M .$$

- Minimisation de $D + \lambda R$.

Compression

- Approximation non-linéaire suivi d'une quantification et d'un codage entropique.
- Minimiser $\|f - f_M\|^2$ pour un nombre M de bits.
- Approche Lagrangienne : recherche de la meilleure segmentation et du meilleur flot qui minimisent

$$\|f - f_M\|^2 + \lambda M .$$

- Minimisation de $D + \lambda R$.
- Algorithme rapide (CART) : programmation dynamique de bas en haut de la segmentation en arbre quaternaire.

Compression

$R = 11418$ octets



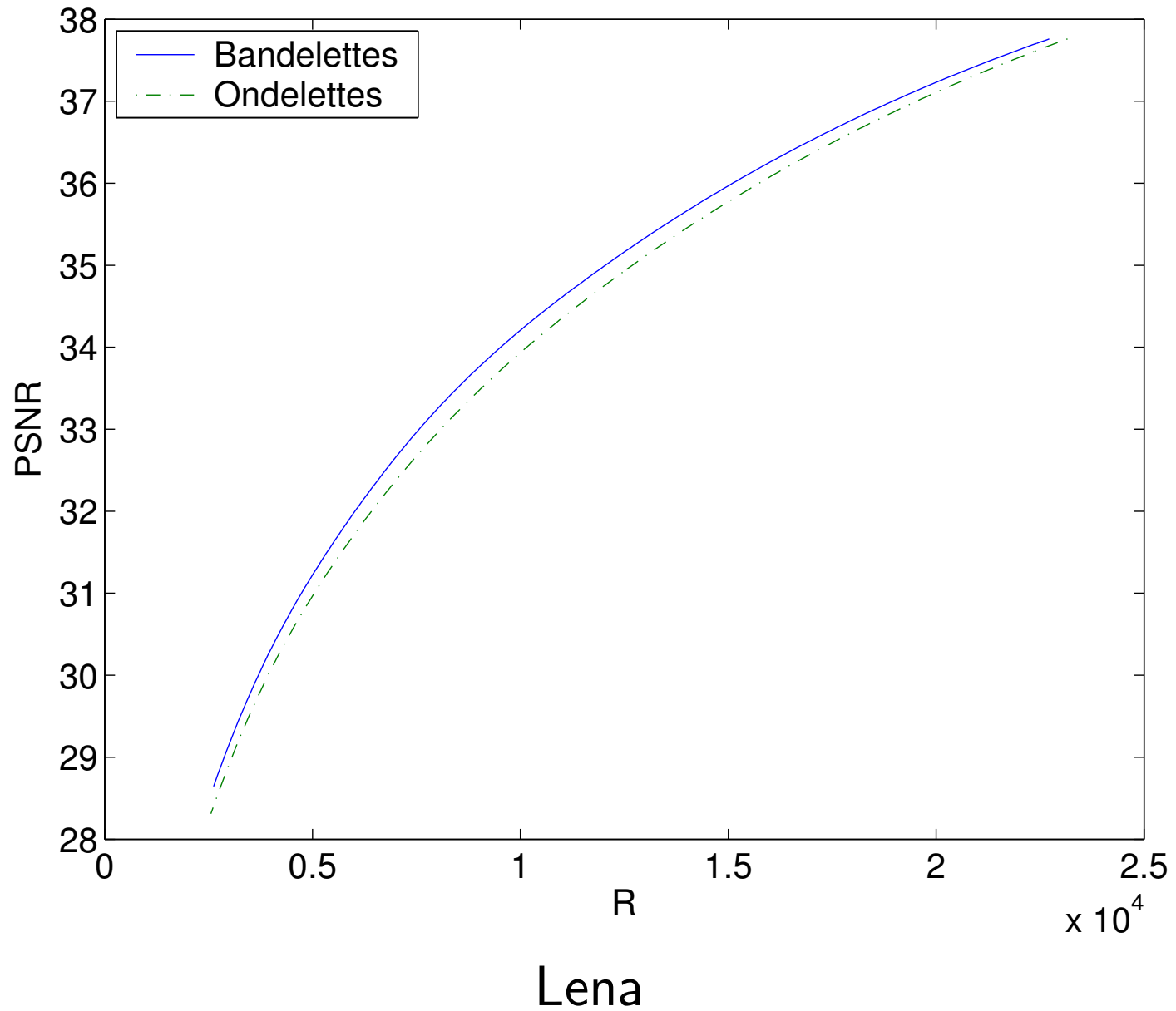
Bandelettes (34,71 dB)



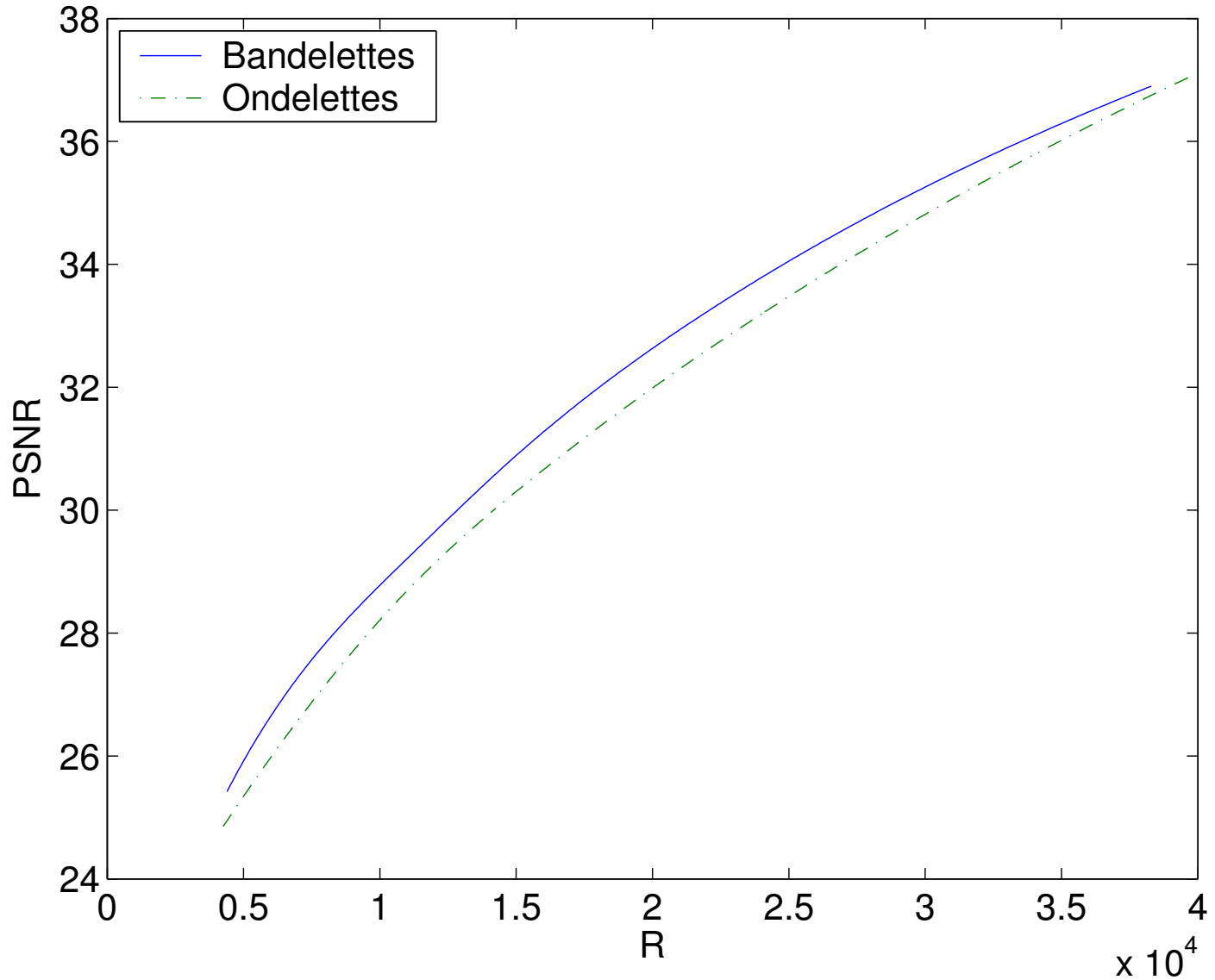
Ondelettes (34,52 dB)



Compression



Compression



Barbara

Conclusion



Conclusion

- Les bandelettes permettent une représentation creuse des images dans un frame (ou une base) adapté à la géométrie.

Conclusion

- Les bandelettes permettent une représentation creuse des images dans un frame (ou une base) adapté à la géométrie.
- Applications dans le traitement du signal :
 - Débruitage et restauration par seuillage.
 - Compression d'image.
 - Compression video.
 - Classification, indexation, . . .

Conclusion

- Les bandelettes permettent une représentation creuse des images dans un frame (ou une base) adapté à la géométrie.
- Applications dans le traitement du signal :
 - Débruitage et restauration par seuillage.
 - Compression d'image.
 - Compression video.
 - Classification, indexation, . . .
- Questions mathématiques :
 - Consistance statistique de l'estimation de la géométrie.
 - Théorèmes d'approximation dans des espaces fonctionnels adaptés.
 - Extension aux dimensions supérieures.